

## 2.8.4 Τόρνευση

Η τόρνευση είναι μια κατεργασία με εργαλείο που έχει γεωμετρικά καθορισμένη κόψη και κυκλική κίνηση κοπής. Συνήθως την κυκλική κίνηση την εκτελεί το αντικείμενο. Το εργαλείο με μία κόψη είναι σταθεροποιημένο και εκτελεί κίνηση κατά μήκος της κατεργαζόμενης επιφάνειας. Σε ιδιαίτερες περιπτώσεις μπορεί επίσης το εργαλείο να εκτελεί την περιστροφική κίνηση (εργαλείο επιπέδου εσωτερικής τόρνευσης και κατασκευή σπειρώματος, σελ. 152).

Ως **τορνευτά αντικείμενα** χαρακτηρίζει κανείς τα αντικείμενα που κατασκευάζονται κυρίως με τόρνευση (**σχήμα 1**). Εδώ, μπορούν κατά τη διάρκεια της κατεργασίας στον τόρνο να παραχθούν και επίπεδες επιφάνειες, οπές, αυλάκια κατά μήκος, εγκάρσια και έλικοι ειδή. Αυτό το είδος κατεργασίας σε έναν τόρνο ονομάζεται πλήρης κατεργασία (σελ. 160).

### 2.8.4.1 Μέθοδοι τόρνευσης

Ανάλογα με την επιφάνεια που κατασκευάστηκε, οι μέθοδοι τόρνευσης διακρίνονται σε κυκλική τόρνευση, επίπεδη τόρνευση, σπειροτόμηση, έκκεντρη τόρνευση, τόρνευση προφύλ και τόρνευση με αντιγραφή (**σχήμα 1, σελ. 135**).

Στην **κυκλική τόρνευση** παράγεται μία κυλινδρική επιφάνεια (σελ. 135). Η κίνηση της πρόωσης μπορεί να γίνεται κατά τη διεύθυνση του άξονα περιστροφής (κυκλική κατά μήκος τόρνευση) ή κάθετα προς τον άξονα (κυκλική εγκάρσια τόρνευση). Στην αποπεράτωση με πλατύ εργαλείο η κατεργασία εκτελείται με μεγάλη πρόωση και μικρές γωνίες θέσης.

Στην **επίπεδη τόρνευση** παράγεται μία επίπεδη επιφάνεια κάθετη προς τον άξονα περιστροφής. Διακρίνουμε εγκάρσια επίπεδη τόρνευση, εγκάρσια τόρνευση αποκοπής και κατά μήκος επίπεδη τόρνευση (σελ. 135).

Η **σπειροτόμηση** είναι μία τόρνευση με ειδικό εργαλείο για την παραγωγή έλικοις επιφανειών, κατά την οποία η πρόωση ανά στροφή είναι ίση με το βήμα της έλικας (σελ. 135).

Στην **έκκεντρη τόρνευση**, κατά τη διάρκεια μιας περιστροφής του αντικειμένου μεταβάλλεται η θέση της κόψης του εργαλείου, ανάλογα με τη διατομή που θα παραχθεί (σελ. 135).

Στην **τόρνευση προφύλ** μεταφέρεται η μορφή του εργαλείου επάνω στο αντικείμενο (σελ. 135).

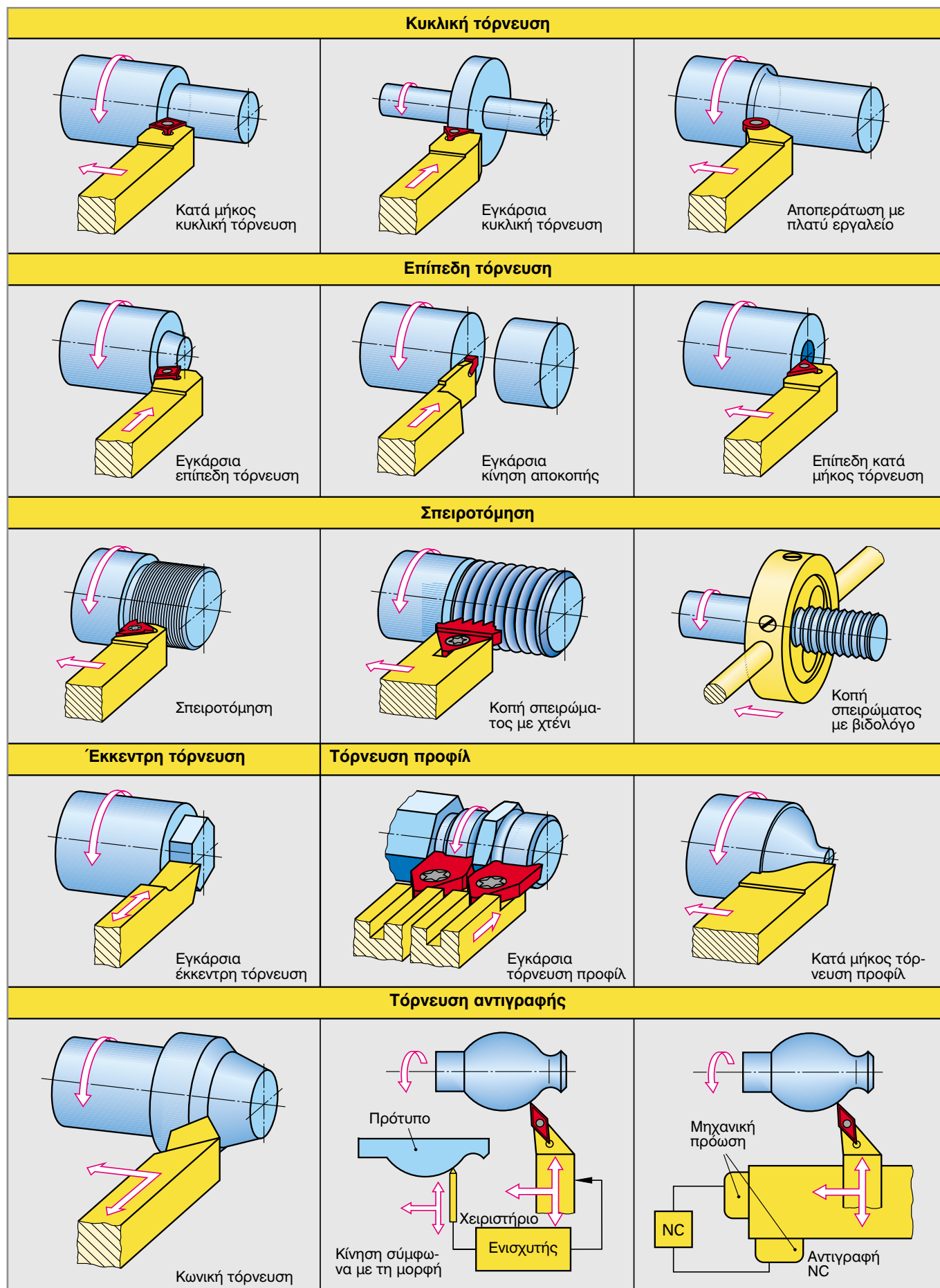
**Τόρνευση αντιγραφής** είναι μία μέθοδος κατά την οποία με έλεγχο της κίνησης πρόωσης παράγεται η μορφή του αντικειμένου (σελ. 135). Ο έλεγχος της πρόωσης μπορεί να γίνει με το χέρι (ελεύθερη αντιγραφή), από ένα πρότυπο (αντιγραφή από πρότυπο) ή με αριθμητικό έλεγχο (αντιγραφή NC).



Σχήμα 1: Τορνευτά αντικείμενα



Σχήμα 1: Κατάταξη των μεθόδων τόρνευσης



Σχήμα 1: Κατάταξη των μεθόδων τόρνευσης

Ανάλογα με τη θέση του σημείου κατεργασίας επάνω στο αντικείμενο, διακρίνουμε **εσωτερική** και **εξωτερική τόρνευση** (σχήμα 1). Ανάλογα με τη διεύθυνση πρόωσης διακρίνουμε **κατά μήκος τόρνευση** και **εγκάρσια τόρνευση** (σχήμα 2).

#### 2.8.4.2 Διαδικασία κοπής και στοιχεία κοπής κατά την τόρνευση

Για το σχεδιασμό και την εκτέλεση εργασιών στον τόρνο, είναι απαραίτητη η γνώση της διαδικασίας κοπής στον τόρνο.

#### Ταχύτητα κοπής και στροφές

Η κίνηση κοπής παράγεται με την περιστροφή του αντικειμένου. Η ταχύτητα κοπής  $v_c$  στην τόρνευση δίνεται σε  $m/min$ . Η εκλογή της ταχύτητας κοπής εξαρτάται από το υλικό του αντικειμένου, από το υλικό του εργαλείου, την ψύξη, την επιθυμητή ποιότητα επιφάνειας και από την ισχύ της εργαλειομηχανής.

Συνιστώμενες τιμές για την ταχύτητα κοπής βρίσκονται σε πίνακες (**πίνακας 1**), ή με τη βοήθεια εξισώσεων υπολογίζονται τα ζητούμενα με βάση τις συνιστώμενες τιμές που δίνουν οι κατασκευαστές. Στις μηχανές NC μπορεί να προγραμματιστεί η υπολογισμένη ταχύτητα κοπής (συνθήκες διαδρομής G96, σελ. 412).

Για άλλες μηχανές οι στροφές που θα τεθούν στον τόρνο, διαβάζονται σε ένα διάγραμμα που βρίσκεται στον τόρνο (**σχήμα 3**), ή βρίσκονται σε πίνακες ή υπολογίζονται από την ταχύτητα κοπής  $v_c$  και τη διάμετρο του αντικειμένου  $d$ .

#### Στροφές

$$n = \frac{v_c}{\pi \cdot d}$$

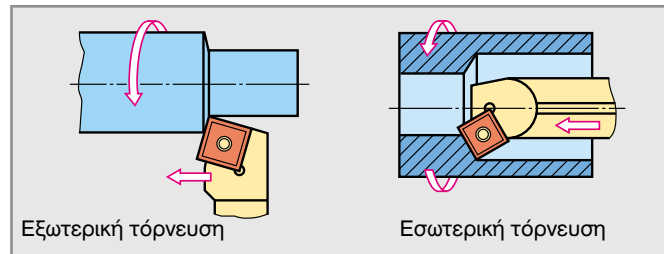
**Παράδειγμα:** Ένας άξονας από C35E με διάμετρο  $d=125$  mm θα τορνευτεί με πρόωση  $f = 0,15$  mm, βάθος κοπής  $a_p = 1$  mm. Το υλικό του εργαλείου είναι ένα επιστρωμένο πλακίδιο σκληρομέταλλου HC-P20. Ζητούνται οι στροφές του τόρνου για την κατεργασία αυτή.

**Λύση:** Από τον πίνακα 1 προκύπτει μία ταχύτητα κοπής  $v_c = 390$  m/min. Από το διάγραμμα στροφών (σχήμα 3) βρίσκονται οι στροφές  $n = 1000/min$ .

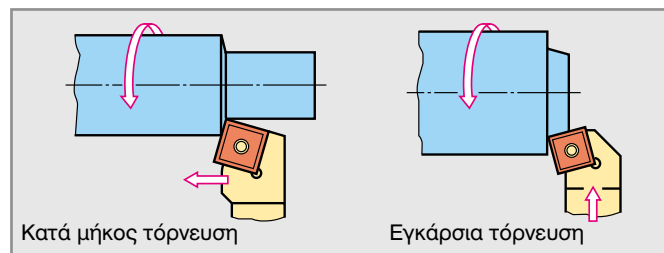
**Παράδειγμα:** Να υπολογιστούν οι στροφές για την κατασκευή σπειρώματος σε τόρνο. Ταχύτητα κοπής 35 m/min και  $d = 150$  mm.

**Λύση:**  $n = \frac{v_c}{\pi \cdot d} = \frac{35 \text{ m/min}}{\pi \cdot 0,15 \text{ m}} = 74/\text{min}$

Οι στροφές  $n$  καθορίζονται από την ταχύτητα κοπής  $v_c$  και τη διάμετρο  $d$  του αντικειμένου.



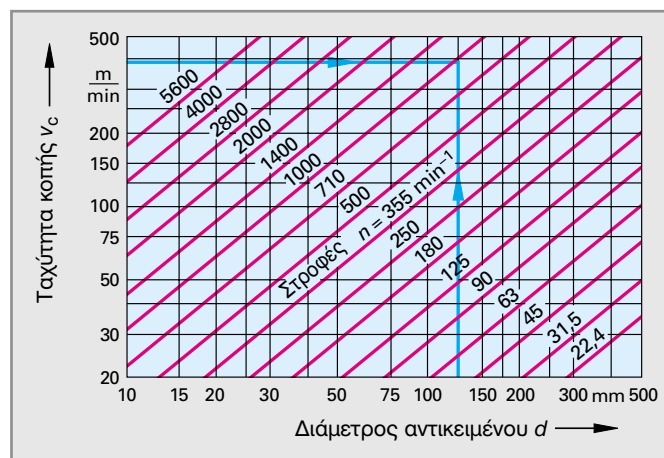
Σχήμα 1: Θέση του σημείου κατεργασίας στην τόρνευση



Σχήμα 2: Διεύθυνση πρόωσης στην τόρνευση

Πίνακας 1: Συνιστώμενες τιμές για τόρνευση με πλακίδια σκληρομέταλλου HC-P20

| Υλικό                                   | Βάθος κοπής $a_p$ mm | Ταχύτητα κοπής $v_c$ σε m/min για πρόωση $f$ σε mm |      |      |      |
|---|----------------------|--|------|------|------|
|   |                      | 0,16   | 0,25 | 0,40 | 0,63 |
| C15E (Ck 15)<br>15S10<br>9SMn28         | 1                    | 474  | 447  | 420  | —    |
|   | 2                    | 442  | 417  | 392  | —    |
|   | 4                    | 412  | 389  | 366  | 345  |
| S235 (St 37)<br>C35E (Ck 35)<br>GS-38 N | 1                    | 390  | 358  | 328  | —    |
|   | 2                    | 364  | 334  | 306  | —    |
|   | 4                    | 340  | 312  | 285  | 262  |
| E295 (St 50)<br>C45E (Ck 45)<br>34CrMo4 | 1                    | 335  | 300  | 267  | —    |
|   | 2                    | 311  | 278  | 247  | —    |
|   | 4                    | 288  | 258  | 229  | 202  |
| E360 (St 70)<br>C60E (Ck 60)<br>28Mn6   | 1                    | 268  | 233  | 202  | —    |
|   | 2                    | 248  | 216  | 187  | —    |
|   | 4                    | 230  | 200  | 173  | 150  |



Σχήμα 3: Διάγραμμα στροφών ενός τόρνου

## Πρόωση

Η πρόωση  $f$ , δίνεται σε mm (mm ανά στροφή) εκλέγεται σύμφωνα με την ισχύ του τόρνου και τη ζητούμενη ποιότητα επιφάνειας. Η ταχύτητα πρόωσης  $v_f$  υπολογίζεται από τις στροφές  $n$  και την πρόωση  $f$ .

### Ταχύτητα πρόωσης

$$v_f = n \cdot f$$

**Παράδειγμα:** Ένας άξονας με  $d = 600$  mm θα υποστεί κατεργασία με ταχύτητα κοπής  $v_c = 95$  m/min, πρόωση  $f = 5$  mm. Η κατεργασία είναι αποπεράτωση με πλατύ εργαλείο (**σχήμα 1**). Ζητείται η ταχύτητα πρόωσης  $v_f$ .

Λύση:

$$n = \frac{v_c}{\pi \cdot d} = \frac{95 \text{ m/min}}{\pi \cdot 0,6 \text{ m}} = 50/\text{min}$$

$$v_f = n \cdot f = 50/\text{min} \cdot 5 \text{ mm} = 250 \text{ mm/min}$$

## Μέγεθος και μορφή της διατομής αποβλήτου

Το βάθος κοπής  $a_p$  (πλάτος κοπής) καθορίζεται στην κυκλική και στην επίπεδη τόρνευση από την προσέγγιση του εργαλείου, ενώ στην εγκάρσια κίνηση αποκοπής (ή αυλακιού), από το πλάτος του εργαλείου (**σχήμα 2**). Το γινόμενο του βάθους κοπής  $a_p$  επί την πρόωση  $f$  δίνει το μέγεθος της διατομής  $A$  του αποβλήτου (**σχήμα 3**).

### Διατομή αποβλήτου

$$A = a_p \cdot f$$

Η γωνία θέσης  $\alpha$  είναι η γωνία μεταξύ της κυρίας κόψης του εργαλείου τόρνευσης και της διεύθυνσης πρόωσης. Η γωνία θέσης καθορίζει τη μορφή της διατομής του αποβλήτου (**σχήμα 3**).

Το πλάτος  $b$  του αποβλήτου και το πάχος  $h$  του αποβλήτου εξαρτώνται από το βάθος κοπής  $a_p$ , από την πρόωση  $f$  και τη γωνία θέσης  $\alpha$  (**σχήμα 3**).

### Πλάτος αποβλήτου

$$b = \frac{a_p}{\eta \mu \alpha}$$

### Πάχος αποβλήτου

$$h = f \cdot \eta \mu \alpha$$

**Παράδειγμα:** Ένας άξονας τορνεύεται με πρόωση  $f = 0,3$  mm και βάθος κοπής  $a_p = 3,5$  mm (**σχήμα 4**).

Αν  $\alpha = 45^\circ$ , ζητούνται το πλάτος  $b$  του αποβλήτου, το πάχος  $h$  του και η διατομή  $A$  του αποβλήτου.

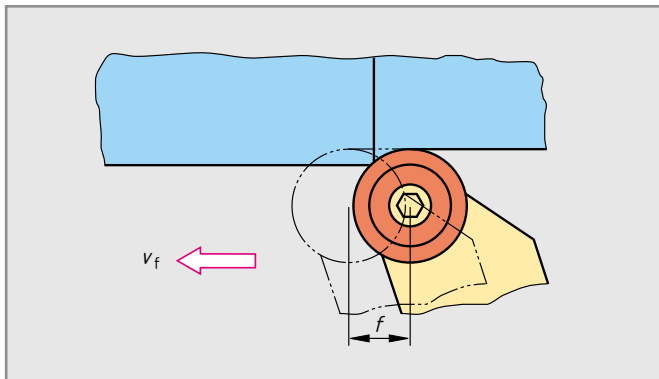
Λύση:

$$b = \frac{a_p}{\eta \mu \alpha} = \frac{3,5 \text{ mm}}{\eta \mu 45^\circ} \approx 5 \text{ mm}$$

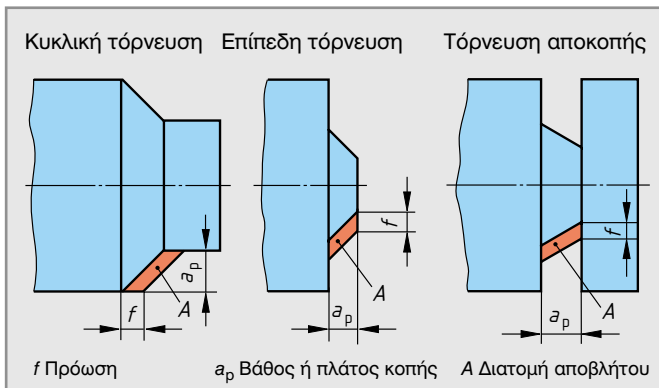
$$h = f \cdot \eta \mu \alpha = 0,3 \text{ mm} \cdot \eta \mu 45^\circ \approx 0,2 \text{ mm}$$

$$A = a_p \cdot f = 3,5 \text{ mm} \cdot 0,3 \text{ mm} \approx 1 \text{ mm}^2$$

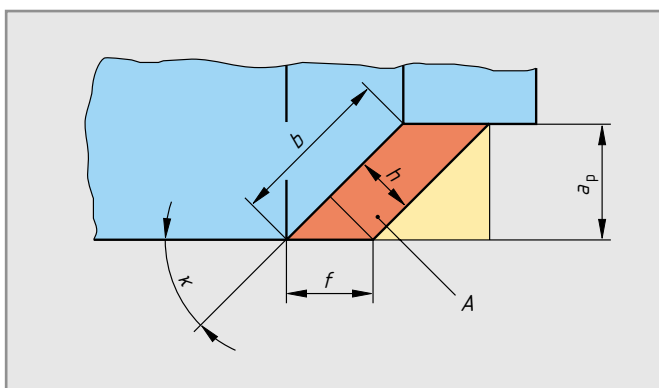
Οι στροφές  $n$ , η πρόωση  $f$  και το βάθος κοπής  $a_p$  είναι τα σπουδαιότερα στοιχεία που πρέπει να τοποθετηθούν στην τόρνευση.



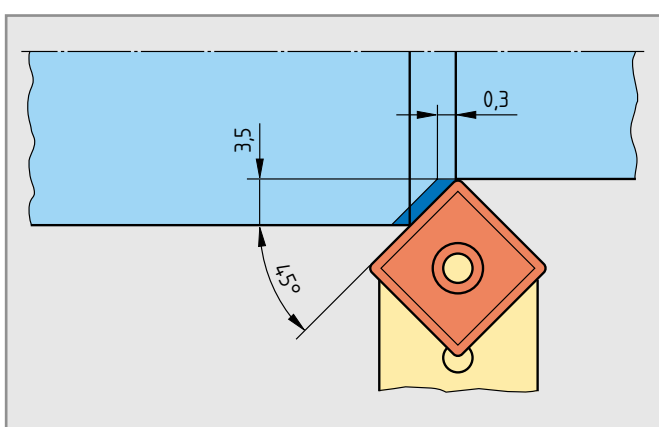
Σχήμα 1: Αποπεράτωση με πλατύ εργαλείο



Σχήμα 2: Πλάτος και βάθος κοπής



Σχήμα 3: Μέγεθος και μορφή της διατομής του αποβλήτου



Σχήμα 4: Τόρνευση πατούρας άξονα

## Δυνάμεις και ισχύς κατά την τόρνευση

Οι δυνάμεις στην τόρνευση δημιουργούνται από τη διείσδυση της κόψης του εργαλείου μέσα στο περιστρεφόμενο αντικείμενο.

**Η δύναμη κοπής  $F_c$**  είναι η δύναμη που ενεργεί εφαπτομενικά (σχήμα 1). Μαζί με τη δύναμη πρόωσης  $F_f$  σχηματίζει τη **δρώσα δύναμη  $F_a$** . Η **παθητική δύναμη  $F_p$**  (ή απώθησης) προσπαθεί να απωθήσει το εργαλείο από τη θέση κοπής. Η αντίρροπη δύναμη ενεργεί κάθετα προς τη διεύθυνση πρόωσης. Η δρώσα δύναμη και η παθητική δύναμη δίνουν το μέγεθος και τη φορά της ολικής δύναμης **κατεργασίας  $F$**  (σχήμα 2).

Η αναγκαία για την τόρνευση δύναμη κοπής  $F_c$  υπολογίζεται από την **ειδική δύναμη κοπής  $k_c$**  και τη διατομή  $A$  του αποβλήτου.

### Δύναμη κοπής

$$F_c = k_c \cdot A$$

Η ειδική δύναμη κοπής  $k_c$  είναι η δύναμη που είναι αναγκαία για την κατεργασία ενός υλικού με εμβαδόν αποβλήτου  $A = 1 \text{ mm}^2$ . Η  $k_c$  εξαρτάται από την κατεργασμότητα του υλικού, το πάχος  $h$  του αποβλήτου, την ταχύτητα κοπής  $v_c$  και τη γεωμετρία της κόψης του εργαλείου και μπορεί να ληφθεί από πίνακες (**πίνακας 1**). Από τη δύναμη κοπής  $F_c$  και το βαθμό απόδοσης  $\eta$  του τόρνου μπορεί να υπολογιστεί η αναγκαία ισχύς κίνησης του τόρνου  $P_e$ .

### Ισχύς κίνησης

$$P_e = \frac{F_c \cdot v_c}{\eta}$$

**Παράδειγμα:** Ζητείται η ισχύς κίνησης ενός τόρνου για την κατεργασία του άξονα του **σχήματος 3**. Δίνεται  $\eta = 0,8$  και εργαλείο σκληρομετάλλου με επίστρωση.

**Λύση:** Εκλέγεται η ταχύτητα κοπής  $v_c$  (από πίνακα 1 σελ. 136).

$$v_c = 202 \text{ m/min} = 3,37 \text{ m/s}$$

$$h = f \cdot \eta \approx 0,6 \text{ mm} \cdot 60^\circ \approx 0,5 \text{ mm}$$

$$k_c = 1845 \text{ N/mm}^2 \text{ (από πίνακα 1)}$$

$$F_c = k_c \cdot A$$

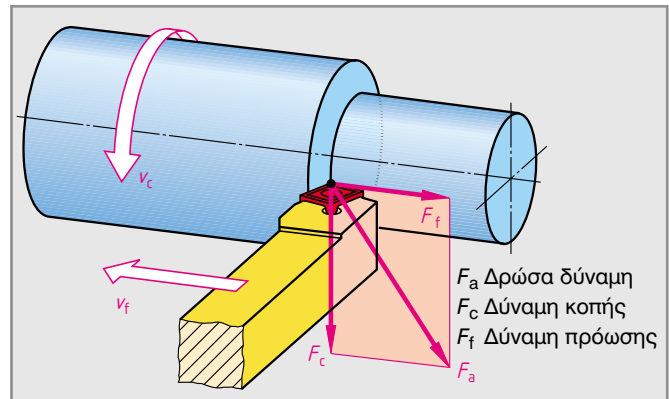
$$= 1845 \text{ N/mm}^2 \cdot 0,6 \text{ mm} \cdot 4 \text{ mm}$$

$$= 4428 \text{ N}$$

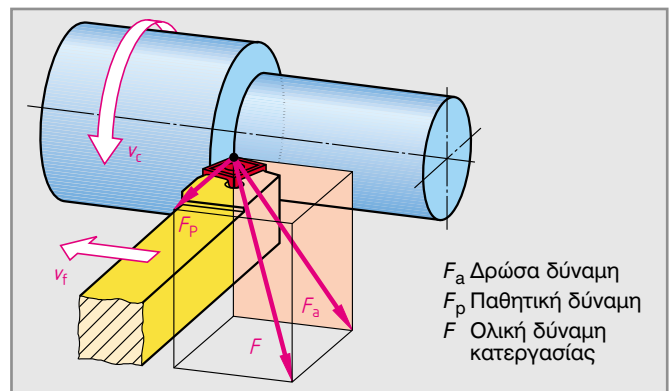
$$P_e = \frac{F_c \cdot v_c}{\eta} = \frac{4428 \text{ N} \cdot 3,37 \text{ m/s}}{0,8}$$

$$= 18653 \text{ W} \approx 18,7 \text{ kW}$$

Η αναγκαία ισχύς  $P_e$  του τόρνου εξαρτάται από το κατεργαζόμενο υλικό, τη διατομή του αποβλήτου  $A$ , την ταχύτητα κοπής  $v_c$  και το βαθμό απόδοσης  $\eta$ .



Σχήμα 1: Δρώσα δύναμη κατά την τόρνευση

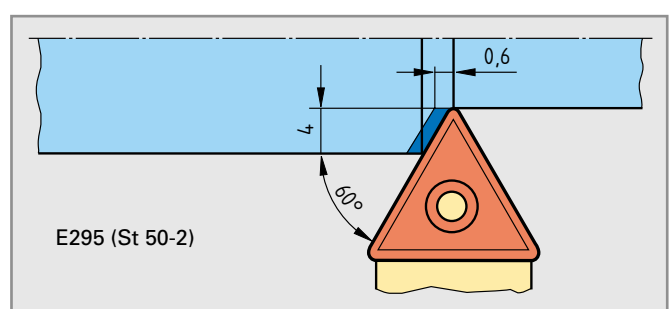


Σχήμα 2: Ολική δύναμη κατεργασίας κατά την τόρνευση

Πίνακας 1: Συνιστώμενες τιμές για την ειδική Δύναμη κοπής  $k_c$  στην τόρνευση

| Υλικό          | Ειδ. Δύναμη κοπής $k_c$ σε N/mm <sup>2</sup> για πάχος αποβλήτου $h$ σε mm |      |      |      |      |
|----------------|--|------|------|------|------|
|                | 0,1  | 0,16 | 0,3  | 0,5  | 0,8  |
| E295 (St 50-2) | 2005   | 2600 | 2130 | 1845 | 1605 |
| C35E (Ck 35)   | 2700   | 2380 | 1990 | 1750 | 1540 |
| C60E (Ck 60)   | 2805   | 2530 | 2185 | 1970 | 1775 |
| 9SMn28 (Ck 60) | 1985   | 1820 | 1615 | 1485 | 1365 |
| 16MnCr5        | 2795   | 2425 | 1990 | 1725 | 1495 |
| 37MnSi5        | 2810   | 2500 | 2115 | 1880 | 1670 |
| 42CrMo4        | 2850   | 2520 | 2120 | 1875 | 1660 |

Οι τιμές ισχύουν για πλακίδια από σκληρομετάλλο με γωνία αποβλήτου  $\gamma = +6^\circ$  και για ταχύτητα κοπής  $v_c = 80$  έως 400 m/min



Σχήμα 3: Παράδειγμα τόρνευσης

### 2.8.4.3 Αλληλεξάρτηση των στοιχείων κατεργασίας

#### Μορφή της διατομής του αποβλήτου

Με την κατάλληλη εκλογή του βάθους κοπής, της πρόωσης και της γωνίας θέσης είναι δυνατόν να επηρεαστούν η διαμόρφωση του αποβλήτου στην κόψη του εργαλείου και κατά συνέπεια η διάρκεια ζωής του εργαλείου και η ποιότητα της επιφάνειας.

**Βάθος κοπής και πρόωση.** Αν εκλέξει κανείς το βάθος κοπής  $a_p = 2$  mm και την πρόωση  $f = 1$  mm, τότε προκύπτει μία διατομή αποβλήτου ίση με αυτήν που προκύπτει όταν  $a_p = 4$  mm και  $f = 0,5$  mm (**σχήμα 1**). Μία ικανοποιητική διαμόρφωση αποβλήτου λαμβάνεται, όμως, μόνον αν ο λόγος  $a_p : f$  βρίσκεται μεταξύ 4:1 και 10:1.

**Σχέση μεγεθών αποβλήτου**

$a_p : f = 4:1$  έως 10:1

**Παράδειγμα:** Για μία τόρνευση ρυθμίζεται βάθος κοπής 5 mm. Μέσα σε ποια όρια θα κυμανθεί η πρόωση;

Λύση:  $a_p : f = 4:1$  έως 10:1

$$f_1 = \frac{a_p}{4} = \frac{5 \text{ mm}}{4} = 1,25 \text{ mm} \quad f_2 = \frac{a_p}{10} = \frac{5 \text{ mm}}{10} = 0,5 \text{ mm}$$

**Γωνία θέσης.** Αν ελαττωθεί η γωνία θέσης  $\kappa$ , π.χ. από  $90^\circ$  σε  $45^\circ$ , τότε θα ελαττωθεί και το πάχος  $h$  του αποβλήτου, ενώ το πλάτος  $b$  θα αυξηθεί (**σχήμα 2**). Ταυτόχρονα, όμως, θα αυξηθούν η παθητική δύναμη  $F_p$  και η ειδική δύναμη κοπής  $k_c$  (**σχήμα 3**). Αν τα τορνεύμενα αντικείμενα είναι αρκετά στιβαρά, τότε η κατεργασία γίνεται με  $\kappa = 45^\circ$ , ενώ για λεπτούς άξονες και τόρνευση σε τόρνους NC, συνηθισμένες γωνίες είναι από  $75^\circ$  έως  $95^\circ$ . Αν τα αντικείμενα έχουν στερεωθεί καλά, είναι στιβαρά και η αφαίρεση του υλικού είναι μικρή, τότε μπορεί να τεθεί γωνία θέσης πολύ μικρή (**σχήμα 4**).

#### Μέγεθος της διατομής του αποβλήτου

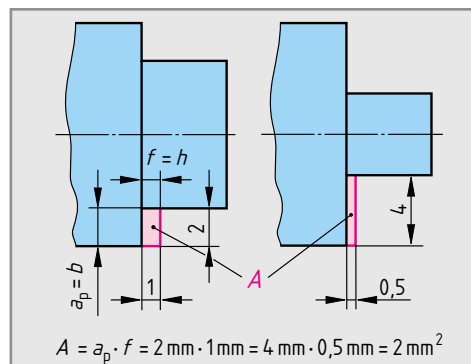
Ο μικρότερος χρόνος κατεργασίας θα προκύψει αν η διατομή του αποβλήτου γίνει μεγάλη και η ταχύτητα κοπής πολύ υψηλή. Και οι δύο τιμές όμως, περιορίζονται από την ισχύ της μηχανής και τη διάρκεια ζωής του εργαλείου. Γι' αυτόν το λόγο συνήθως, η κατεργασία γίνεται σε περισσότερες φάσεις (**σχήμα 5**).

**Ξεχόνδρισμα.** Σκοπός του ξεχόνδρισματος ή προτόρνευσης είναι η επίτευξη ενός, κατά το δυνατόν, μεγάλου όγκου αποβλήτων (σελ. 150). (Βλ. σχήμα 5, φάση κατεργασίας I). Για το ξεχόνδρισμα εκλέγονται μεγάλες προώσεις, αντίστοιχα βάθη κοπής και μικρές ταχύτητες κοπής, από ό,τι στην αποπεράτωση (φινίρισμα).

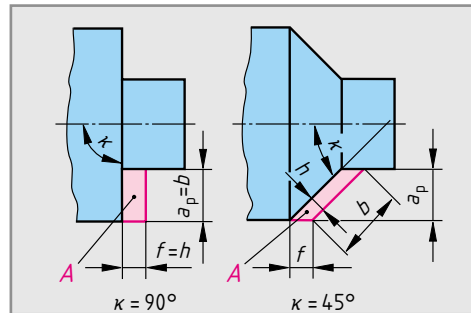
Το ξεχόνδρισμα γίνεται με όσο το δυνατόν μεγαλύτερη πρόωση και ανάλογο βάθος κοπής.

**Αποπεράτωση (φινίρισμα).** Με την αποπεράτωση θα πρέπει να επιτευχθούν οι ζητούμενες ακρίβειες στις διαστάσεις και στη μορφή, καθώς και η επιθυμητή ποιότητα επιφάνειας (σχήμα 5, φάση II). Εδώ, η πρόωση και το βάθος κοπής είναι μικρά, ενώ η ταχύτητα κοπής εκλέγεται μεγάλη. Η πρόωση δεν επιτρέπεται να γίνει μεγαλύτερη των 0,05 mm, διότι το εργαλείο πιέζει και η φθορά του θα ήταν μεγάλη. Πολλές φορές, μικρές λεπτομέρειες του περιγράμματος, π.χ. ξεθυμάσματα, στρογγυλέματα και γωνίες, ετοιμάζονται κατά το φινίρισμα.

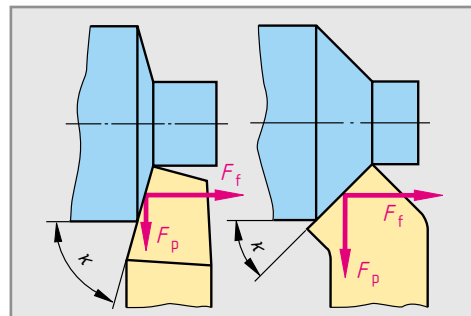
Η αποπεράτωση (φινίρισμα) εκτελείται με μικρή διατομή αποβλήτου και μεγάλη ταχύτητα κοπής.



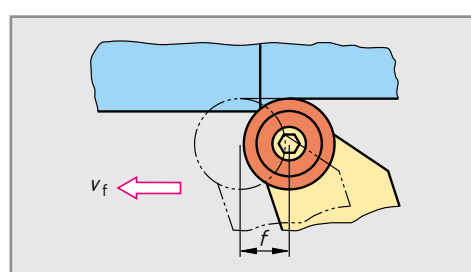
Σχήμα 1: Βάθος κοπής και πρόωση



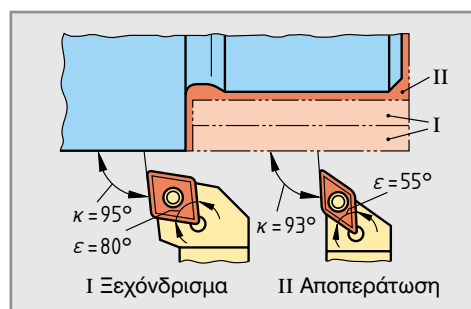
Σχήμα 2: Επίδραση της γωνίας θέσης στις διαστάσεις του αποβλήτου



Σχήμα 3: Επίδραση της γωνίας θέσης στην παθητική δύναμη



Σχήμα 4: Αποπεράτωση με πλατύ εργαλείο



Σχήμα 5: Σειρά φάσεων κατεργασίας κατά την τόρνευση

#### 2.8.4.4 Εκλογή κατάλληλων συνθηκών κατεργασίας

Οι συνθήκες κατεργασίας που εκλέγονται στον τόρνο (μεγέθη εισόδου) καθορίζουν την ποιότητα και την οικονομικότητα της παραγωγής (μεγέθη εξόδου). Επειδή οι τιμές που θα τοποθετηθούν αλληλοεξαρτώνται, πρέπει πάντοτε να λαμβάνονται υπόψη όλες μαζί.

Με την ορθή εκλογή των συνθηκών κατεργασίας, κυρίως της ταχύτητας κοπής, καθορίζονται η ποιότητα και η οικονομικότητα της κατεργασίας στον τόρνο.

**Παράδειγμα:** Από τα διαγράμματα του σχήματος 1 μπορεί να φανεί η επίδραση μιας αύξησης της ταχύτητας κοπής.

**Διάγραμμα 1:** Η μέγιστη τραχύτητα παρουσιάζεται όταν η ταχύτητα κοπής είναι μικρή, διότι τότε δημιουργείται μία ψευδοακμή (σελ. 101). Η ταχύτητα κοπής, κατά συνέπεια, για όλες τις κατεργασίες στον τόρνο, ίδιαίτερα στην αποπεράτωση, πρέπει να εκλεγεί τόσο μεγάλη, ώστε να αποφευχθεί η δημιουργία μιας ψευδοακμής.

**Διάγραμμα 2:** Οι δυνάμεις κοπής αρχικά αυξάνονται, στη συνέχεια, όμως, γίνονται μικρότερες. Επομένως, στις υψηλές ταχύτητες κοπής, η κατεργασία μπορεί να γίνει με μεγαλύτερη ακρίβεια (αποπεράτωση) ή ακόμη και να πραγματοποιηθεί μία παραγωγή μεγαλύτερου όγκου αποβλήτων ανά μονάδα χρόνου (ξεχόνδρισμα).

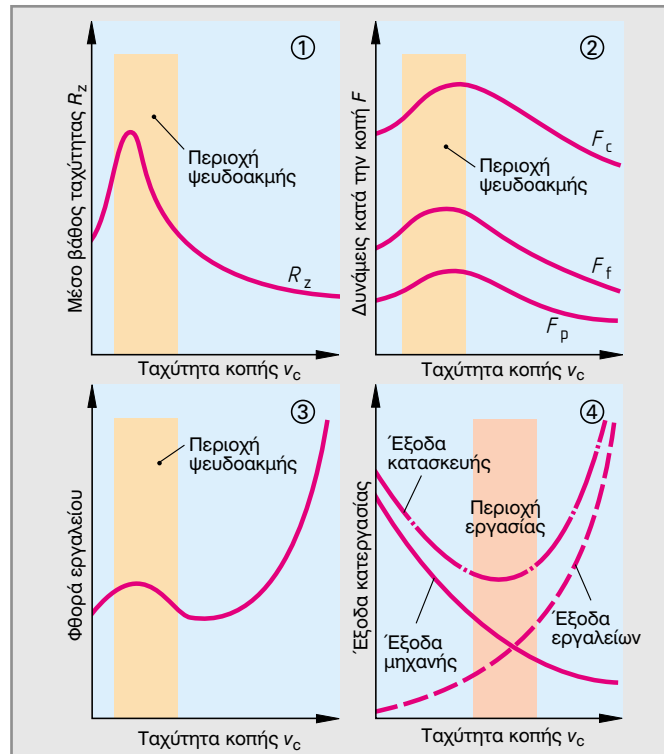
**Διάγραμμα 3:** Η φθορά του εργαλείου στις μεγάλες ταχύτητες κοπής αυξάνεται σημαντικά, με αντίστοιχη μείωση της διάρκειας ζωής του εργαλείου. Η ταχύτητα κοπής επιτρέπεται να αυξηθεί τόσο, ώστε η διάρκεια ζωής του εργαλείου, η οποία θα προκύψει, να βρίσκεται σε οικονομικά όρια. Οι συνιστώμενες τιμές για την ταχύτητα κοπής βασίζονται συνήθως σε διάρκεια ζωής εργαλείου ίση με 15 min.

**Διάγραμμα 4:** Με τη επιλογή της σωστής ταχύτητας για την κοπή επιτυγχάνεται μία οικονομία στην παραγωγή εφόσον βέβαια διατηρηθούν σε χαμηλά επίπεδα και τα ανάλογα έξοδα για τη μηχανή, τις αμοιβές και τα εργαλεία.

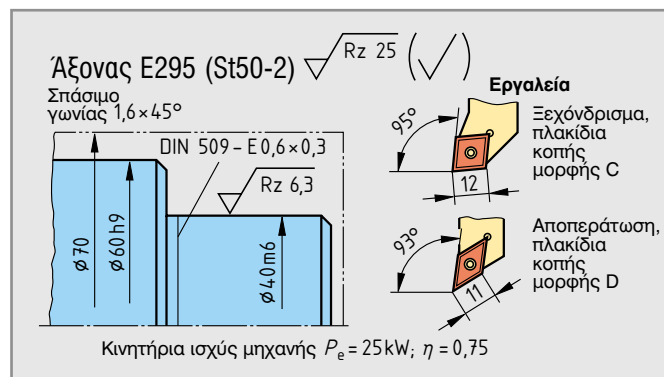
**Παράδειγμα: Εκλογή των συνθηκών κατεργασίας για έναν άξονα (σχήμα 2)**

#### Εκλογή εργαλείων

Τα εργαλεία τόρνευσης εκλέγονται σύμφωνα με το είδος του υλικού, το μέγεθος και τη μορφή του αντικειμένου καθώς και από το μέγεθος και την ισχύ της μηχανής (σχήμα 2 και σελ. 138). Στο παράδειγμα έχουν εκλεγεί τα εργαλεία τόρνευσης με πλακίδια από σκληρομέταλλο HC-P20 και βαθμίδα διαμόρφωσης αποβλήτου (σελ. 100) τύπου M, όπως φαίνεται στο σχήμα 2. Με την επιλογή των εργαλείων υπεισέρχεται και ο περιορισμός για το βάθος κοπής και για την πρώσωση (πίνακας 1).



Σχήμα 1: Επίδραση της ταχύτητας κοπής



Σχήμα 2: Παράδειγμα τόρνευσης

Πίνακας 1: Επιτρεπόμενη φόρτιση στις κόψεις για πλακίδια σκληρομετάλλου

| Πλακίδιο<br>Μορφή | Μέγεθος<br>$l$ mm | Βάθος<br>κοπής $a_p$<br>mm | Πρώσωση<br>$f$<br>mm | Δύναμη<br>κοπής $F_c$<br>N |
|-------------------|-------------------|----------------------------|----------------------|----------------------------|
| C                 | 9                 | 6                          | 0,4                  | 5000                       |
|                   | 12                | 8                          | 0,6                  | 10000                      |
|                   | 16                | 10                         | 0,8                  | 16000                      |
| S                 | 9                 | 7                          | 0,4                  | 5000                       |
|                   | 12                | 9                          | 0,6                  | 10000                      |
|                   | 15                | 12                         | 0,8                  | 16500                      |
|                   | 19                | 14                         | 1,0                  | 23000                      |
| T                 | 11                | 5                          | 0,4                  | 4000                       |
|                   | 16                | 8                          | 0,6                  | 9000                       |
|                   | 22                | 11                         | 0,8                  | 15000                      |

## Εκλογή της διατομής του αποβλήτου

Στην επιλογή αυτή, πρέπει να προσεχθούν το εργαλείο (πίνακας 1, σελ. 140) και η μορφή του ακατέργαστου τεμαχίου. Σ' αυτό το παράδειγμα εκλέγονται 3 φάσεις ξεχόνδρισματος με αρχικό βάθος κοπής  $a_p = 5 \text{ mm}$  και πρόωση  $f = 0,5 \text{ mm}$  και μία φάση αποπεράτωσης με  $a_p = 1 \text{ mm}$  και  $f = 0,08 \text{ mm}$ .

Η πρόωση και το βάθος κοπής ελέγχονται είτε από διάγραμμα είτε με υπολογισμό της δύναμης κοπής.

$$F_c = k_c \cdot A = 1845 \text{ N/mm}^2 \cdot 5 \text{ mm} \cdot 0,5 \text{ mm} = 4613 \text{ N}$$

(από πίνακα 1, σελ. 140, επιτρέπεται 10000 N)

## Επιλογή της ταχύτητας κοπής

Η συνιστώμενη τιμή της ταχύτητας κοπής λαμβάνεται από πίνακες. Στο παράδειγμα αυτό επιλέγονται 200 m/min για ξεχόνδρισμα και 350 m/min για αποπεράτωση (πιν. 1, σελ. 136). Αυτή η τιμή πρέπει να διορθωθεί σύμφωνα με τις συνθήκες κατεργασίας (**πίνακας 2**).

1. Φάση ξεχόνδρισματος (επιφάνεια από έλαση):

$$v_{c1} = 200 \text{ m/min} \cdot 0,75 = 150 \text{ m/min}$$

2. και 3. φάση ξεχόνδρισματος (τιμή):  $v_{c2} = 200 \text{ m/min}$

Φάση αποπεράτωσης (διάρκεια ζωής  $T = 60 \text{ min}$ ):

$$v_{c3} = 350 \text{ m/min} \cdot 0,7 = 245 \text{ m/min}$$

Οι συνιστώμενες τιμές κατεργασίας είναι μέσες τιμές οι οποίες πρέπει να διορθωθούν σύμφωνα με τις συνθήκες κατεργασίας, είτε προς τα πάνω είτε προς τα κάτω.

Τέλος οι τιμές που θα τεθούν στο μηχάνημα πρέπει να υποβληθούν και στους εξής ελέγχους:

- Είναι εφικτή η διαθέσιμη ισχύς της μηχανής;

$$P_e = \frac{F_c \cdot v_c}{\eta} = \frac{4613 \text{ N} \cdot 200 \text{ m}}{60 \text{ s} \cdot 0,75} = 20502 \text{ W} = 20,5 \text{ kW}$$

(Διαθέσιμη  $P_e = 25 \text{ kw}$ )

- Οι στροφές κατεργασίας βρίσκονται στην περιοχή στροφών της μηχανής και των μέσων στερέωσης;
- Είναι η μηχανή, η στερέωση, το εργαλείο και το αντικείμενο αρκετά στιβαρά;
- Σε ποιες φάσεις κατεργασίας χρειαζόμαστε ψυκτικό; (ψυκτικά - λιπαντικά, βλ. σελ. 102);

## Ερωτήσεις επανάληψης

- Ποιες μέθοδοι τόρνευσης υπάρχουν ανάλογα με τη διεύθυνση της πρόωσης;
- Πώς υποδιαιρούνται οι μέθοδοι τόρνευσης ανάλογα με την παραγόμενη μορφή του αντικειμένου;
- Σε ποια σχέση πρέπει να βρίσκεται το βάθος κοπής με την πρόωση στην τόρνευση;
- Πώς πρέπει να εκλεγούν στην αποπεράτωση η ταχύτητα κοπής και η πρόωση;
- Ποιοι παράγοντες πρέπει να ληφθούν υπόψη κατά την εκλογή της ταχύτητας κοπής;

**Πίνακας 1: Συντελεστές διόρθωσης για συνιστώμενες τιμές ταχύτητας κοπής**

| Επίδραση στην κατεργασία                           | Συντελεστής διορθώσεως |
|--|------------------------|
| Εξωτερική επιφάνεια από σφυρηλασία, έλαση, χύτευση | 0,7...0,8              |
| Διακοπτόμενη κοπή                                  | 0,8...0,9              |
| Εσωτερική τόρνευση                                 | 0,75...0,85            |
| Τεμάχιο μικρής στιβαρότητας                        | 0,8...0,95             |
| Πολύ στιβαρό τεμάχιο                               | 1,05...1,2             |
| Κακή κατάσταση μηχανής                             | 0,8...0,95             |
| Πολύ καλή κατάσταση μηχανής                        | 1,05...1,2             |
| Επιθυμητή $T = 8 \text{ min}$                      | 1,1...1,3              |
| διάρκεια ζωής $T = 30 \text{ min}$                 | 0,8...0,9              |
| $T = 60 \text{ min}$                               | 0,6...0,8              |

**Πίνακας 1: Πορεία σχεδιασμού για την εκλογή των συνθηκών κατεργασίας στην τόρνευση**

| Σχεδιασμός α/α | Οδηγίες επιλογής για:<br>Φάση     | Ξεχόνδρισμα   | Αποπεράτωση  |
|----------------|-----------------------------------|---|--|
| 1              | Εκλογή βάθους κοπής               | Όσο το δυνατόν περισσότερο, προσοχή στις οριακές τιμές του εργαλείου                                      | Σύμφωνα με το περιθώριο αποπεράτωσης                                     |
| 2              | Εκλογή πρόωσης                    | Όσο το δυνατόν περισσότερο, προσοχή στις οριακές τιμές του εργαλείου                                      | Μέγιστη τιμή σύμφωνα με τη μέγιστη τραχύτητα, ελάχιστη τιμή 0,05 mm      |
| 3              | Έλεγχος                           | Έλεγχος θραύσης αποβλήτου από διάγραμμα. Σε ασύμφορη εκλογή, αλλαγή τιμών ή αλλαγή πλακιδίου κοπής        | Υπολογισμός δύναμη κοπής $F_c$ και σύγκριση με επιτρεπόμενη μέγιστη τιμή |
| 4              | Εκλογή ταχύτητας κοπής            | Επιλογή ταχύτητας κοπής προσέχοντας διατομή αποβλήτου, υλικό και υλικό εργαλείου. Διόρθωση με συντελεστές |  |
| 5              | Προσοχή στην επίδραση της μηχανής | Κινητήρια ισχύς, ροπή στρέψης, περιοχή στροφών, έλεγχος στιβαρότητας                                      | Έλεγχος περιοχής στροφών και στιβαρότητας                                |

6. Για την τόρνευση υλικού 9SMn28, δίνονται:  $d = 120 \text{ mm}$ ,  $a_p = 4 \text{ mm}$ ,  $f = 0,4 \text{ mm}$ ,  $\alpha = 75^\circ$ , η μηχανής = 0,8 και εργαλεία από επιστρωμένο σκληρομετάλλο. Ζητούνται: η ταχύτητα κοπής  $v_c$ , οι στροφές  $\eta$ , η δύναμη κοπής  $F_c$  και η κινητήρια ισχύς  $P_e$ .

7. Ποιες τιμές έχουν τα στοιχεία κοπής για το ξεχόνδρισμα ακατέργαστου άξονα από C45E (Ck45) με επιστρωμένα πλακίδια σκληρομετάλλου;

### 2.8.4.5 Εργαλεία τόρνου

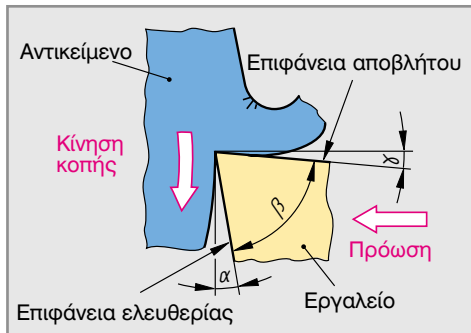
#### Υλικά εργαλείών τόρνου

Ως υλικά εργαλείών τόρνου χρησιμοποιούνται κυρίως επιστρωμένα σκληρομέταλλα και κεραμικά υλικά (σελ. 98, 99), συνήθως ως αναστρεφόμενα πλακίδια σε σφιγκτήρες. Τα εργαλεία για τόρνευση προφίλ ή μικρών εσωτερικών λεπτομερειών, έχουν πολλές φορές κόψεις από ταχυχάλυβα. Για λεπτές κατεργασίες μη σιδηρούχων υλικών ή ενισχυμένων πλαστικών μπορεί να χρησιμοποιηθεί το πολυκρυσταλλικό διαμάντι. Για σκληρά υλικά, π.χ. σκληρό χυτοσίδηρο και βαμμένο χάλυβα χρησιμοποιείται το αζωτούχο βόριο, ενώ για χυτοσίδηρο το αζωτούχο πυρίτιο.

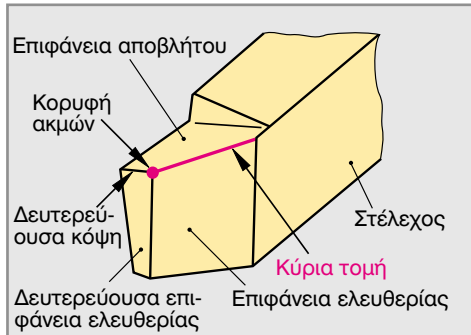
#### Γεωμετρία του κοπτικού εργαλείου τόρνου

**Κοπτικό άκρο.** Η βασική μορφή του κοπτικού εργαλείου τόρνου είναι μία σφήνα με γωνία ελευθερίας  $\alpha$ , γωνία σφήνωσης  $\beta$  και γωνία αποβλήτου  $\gamma$  (σχήμα 1). Με τις βαθμίδες αποβλήτων αποσκοπεί κανείς στη θραύση των αποβλήτων και την ομαλή απομάκρυνσή τους. Οι κατάλληλες για την κάθε κατεργασία γωνίες, εξαρτώνται από το υλικό του αντικειμένου, το υλικό του εργαλείου και τη μέθοδο κατεργασίας. Ενδεικτικές τιμές μπορούν να ληφθούν από πίνακες.

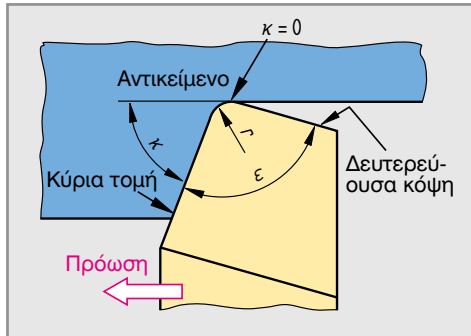
Οι γωνίες στην κόψη του εργαλείου τόρνευσης, εξαρτώνται από το υλικό, το υλικό εργαλείου και τη μέθοδο κατεργασίας.



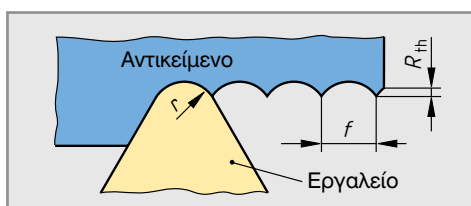
Σχήμα 1: Γωνίες στη σφήνα κοπής



Σχήμα 2: Κοπτικό άκρο εργαλείου τόρνου



Σχήμα 3: Κορυφή κόψεων



Σχήμα 4: Επίδραση του στρογγυλέματος κορυφής

#### Θεωρητικό βάθος τραχύτητας

$$R_{th} \approx \frac{f^2}{8 \cdot r}$$

**Παράδειγμα:** Ποιο το αναμενόμενο θεωρητικό βάθος τραχύτητας  $R_{th}$  για ακτίνα κορυφής  $r = 1,2 \text{ mm}$  και πρόωση  $f = 0,8 \text{ mm}$ ;

Λύση:  $R_{th} = \frac{f^2}{8 \cdot r} = \frac{0,8^2}{8 \cdot 1,2} = 0,067 \text{ mm} = 67 \mu\text{m}$

Οι πραγματικές τιμές τραχύτητας, ιδίως για μικρές προώσεις, μπορεί να είναι σημαντικά μεγαλύτερες από τις υπολογιζόμενες, διότι στην περιοχή της ακτίνας της κορυφής, το πάχος  $h$  του αποβλήτου, είναι πολύ μικρό λόγω πίεσης από το εργαλείο. Αυτό αφορά ιδιαίτερα τις μεγάλες ακτίνες κορυφής. Γι' αυτόν το λόγο στην αποπεράτωση, για να προκύψουν ανεκτά απόβλητα και μικρές τιμές τραχύτητας χρειάζεται, εκτός από μικρή πρόωση και μία μικρή ακτίνα κορυφής (πίνακας 1).

Πίνακας 1: Μέγιστες τιμές τραχύτητας και πρόωσης στην τόρνευση

| Μέγιστη επιπτρ. τιμή τραχύτητας<br>$R_z$ $\mu\text{m}$ | Μέγιστη πρόωση $f$ σε $\text{mm}$<br>για στρογγύλεμα κορυφής $r$ σε $\text{mm}$ |     |      |     |      |
|--|---|-----|------|-----|------|
|  |   | 0,4 | 0,8  | 1,2 | 1,6  |
| 100  | 25  | —   | —    | 0,9 | 1,2  |
| 63   | 12,5  | 0,3 | 0,4  | 0,6 | 0,7  |
| 40   | 6,3   | 0,2 | 0,3  | 0,4 | 0,5  |
| 16   | 3,2   | 0,1 | 0,15 | 0,2 | 0,25 |

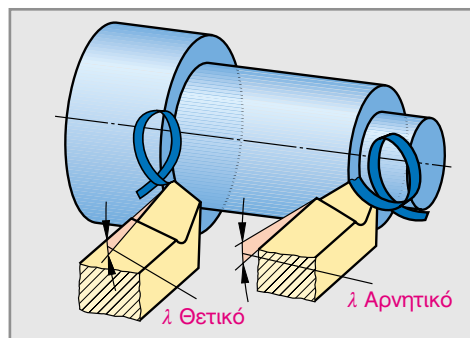
**Γωνία κλίσης.** Ως γωνία κλίσης λ θεωρούμε τη γωνία μεταξύ της κύριας κόψης και μίας καθέτου προς τη διεύθυνση κοπής (**σχήμα 1**). Η γωνία κλίσης είναι θετική αν η κόψη του εργαλείου ανέρχεται προς τη διεύθυνση της κορυφής. Αν κατέρχεται, η γωνία είναι αρνητική.

Αν η γωνία είναι αρνητική, τότε, κατά την έναρξη της κοπής, η κορυφή καταπονείται λιγότερο και συνεπώς μικραίνει ο κίνδυνος θραύσης. Έτσι, στο ξεχόνδρισμα, ή σε διακοπτόμενη κατεργασία επιλέγεται αρνητική γωνία κλίσης.

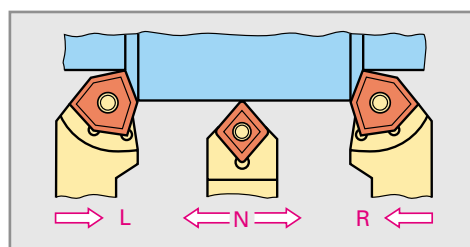
Η θετική γωνία κλίσης επιδρά έτσι, ώστε το απερχόμενο απόβλητο να διευκολύνεται κατά την απομάκρυνσή του. Προτιμάται η θετική γωνία στην αποπεράτωση για προστασία της κατεργαζόμενης επιφάνειας. Στα πλακίδια με βαθμίδα αποβλήτου η πορεία του αποβλήτου καθορίζεται από τα αυλάκια και την πλοκή του αποβλήτου.

### Μορφές εργαλείων τόρνευσης

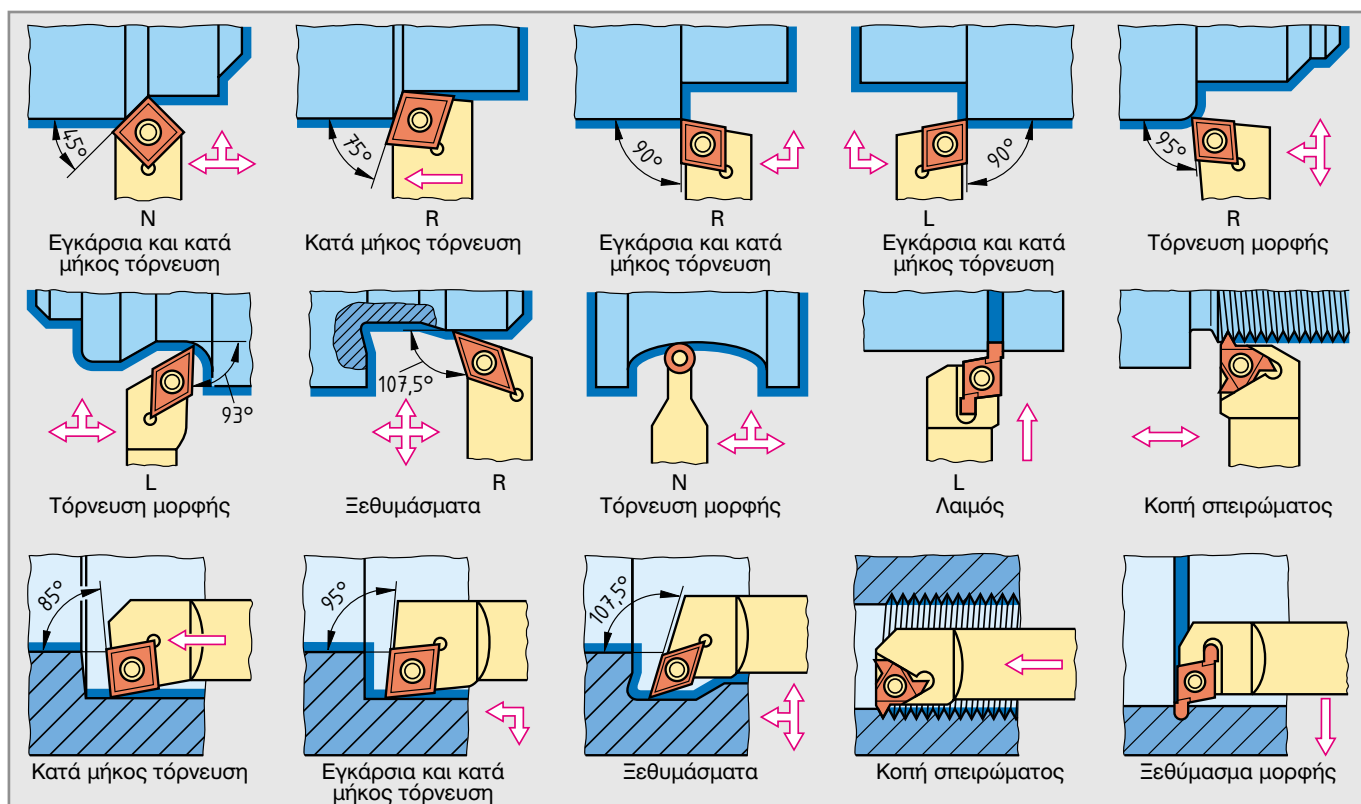
**Διεύθυνση κοπής.** Η θέση της κύριας κόψης ως προς το στέλεχος καθορίζει τη διεύθυνση κοπής (**σχήμα 2**). Διακρίνει κανείς την κατασκευή R (δεξιόκοπη) L (αριστερόκοπη) και N (ουδέτερη).



Σχήμα 1: Γωνία κλίσης και απομάκρυνση αποβλήτου



Σχήμα 2: Διεύθυνση κοπής



Σχήμα 3: Χρησιμοποίηση εργαλείων εξωτερικής τόρνευσης

**Εργαλεία εσωτερικής και εξωτερικής τόρνευσης.** Ανάλογα με τη θέση του σημείου κοπής διακρίνει κανείς εργαλεία εξωτερικής και εσωτερικής τόρνευσης. Η γωνία θέσης, καθώς και η μορφή, το μέγεθος και το είδος κατασκευής του πλακίδου κοπής επιλέγονται ανάλογα με τη μορφή του αντικειμένου στο οποίο θα γίνει η κατεργασία, τη διεύθυνση πρόσωσης, τη διατομή του αποβλήτου και το είδος του υλικού (**σχήμα 3**).

Τα εργαλεία τόρνευσης κατατάσσονται, σύμφωνα με το σημείο κοπής, σε εργαλεία εξωτερικής κοπής και εσωτερικής κοπής. Σύμφωνα με τη μορφή τους κατατάσσονται σε δεξιόκοπα, αριστερόκοπα και ουδέτερα (αριστερόκοπα και δεξιόκοπα).

**Εργαλεία διάτρησης.** Για τρύπημα, βύθισμα και γλύφανση σε τόρνο, μπορούν να χρησιμοποιηθούν τα ίδια εργαλεία που χρησιμοποιούνται και στα δράπανα (σελ. 122). Σε αντίθεση με το τρύπημα, στην τόρνευση, το τεμάχιο εκτελεί την περιστροφική κίνηση. Εδώ πρέπει να ταυτίζεται ο άξονας του εργαλείου με τον άξονα του αντικειμένου. Τα εργαλεία διάτρησης με πλακίδια σκληρομετάλλου μπορούν να ρυθμιστούν έκκεντρα και να χρησιμοποιούνται και για διάτρηση σε συμπαγές υλικό, αλλά και για εσωτερική τόρνευση (σχήμα 1).

Τα συστήματα εργαλείων επιτρέπουν την ανταλλαγή κοπτικών κεφαλών επάνω σε ένα βασικό φορέα (σχήμα 2). Είναι ιδιαίτερα κατάλληλα για τόρνους με εργαλειοθήκες.

### Στερέωση των εργαλείων τόρνευσης

**Είδος στερέωσης.** Η δύναμη κοπής, η δύναμη πρόωσης και η παθητική δύναμη, προσπαθούν να παραμορφώσουν και να απωθήσουν το εργαλείο. Συνεπώς, πρέπει το εργαλείο να έχει ένα στιβαρό στέλεχος και όσο το δυνατόν πιο μικρό ελεύθερο μήκος και να είναι σφιχτά δεμένο πάνω στον εργαλειοδέτη.

**Θέση κατά το ύψος.** Η κατά το ύψος θέση του εργαλείου, πρέπει, κανονικά να είναι έτσι, ώστε να βρίσκεται στο ύψος του άξονα περιστροφής (άξονας αντικειμένου). Σ' αυτήν τη θέση οι γωνίες ελευθερίας και αποβλήτου έχουν το κανονικό τους μέγεθος (σχήμα 3). Σ' αυτή τη ρύθμιση (στον άξονα του αντικειμένου) αντιστοιχεί σε βάθος κοπής 1 mm μεταβολή της διαμέτρου κατά 2 mm. Έτσι δημιουργούνται τορνευτά αντικείμενα με ακρίβεια στις διαστάσεις και στη μορφή.

Τα εργαλεία τόρνου πρέπει να έχουν στιβαρό στέλεχος, να έχουν μικρό ελεύθερο μήκος και να στερεώνονται στο κέντρο του αντικειμένου.

Για τη ρύθμιση κατά το ύψος χρησιμοποιούνται επίπεδες λάμες για την έδραση ή ρυθμιστικοί κοχλίες (σχήμα 4). Η ορθή κατά το ύψος θέση μπορεί να ελεγχθεί με την πόντα του κεντροφορέα (κουκουβάγια), με κατάλληλο ελεγκτήρα ή με μία εγκάρσια δοκιμαστική τόρνευση.

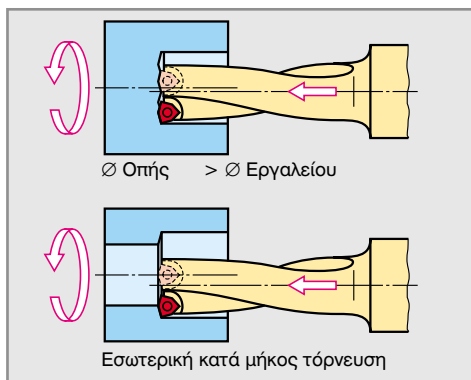
Οι πυργίσκοι εργαλείων (σελ. 160), οι φορείς ταχείας αλλαγής και τα συστήματα εργαλείων (σχήμα 2) επιτρέπουν μία ταχεία αλλαγή εργαλείου με διατήρηση της ρύθμισης κατά το ύψος.

### Στερέωση πλακιδίων κοπής

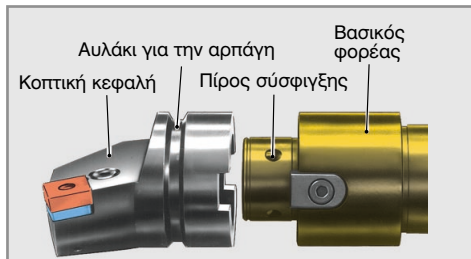
Τα πλακίδια κοπής στερεώνονται σε ειδικούς σφιγκτήρες. Συχνά χρησιμοποιούνται πλακίδια κοπής με οπή. Μέσω της οπής, τα πλακίδια στερεώνονται με κοχλία με διάταξη σύσφιγξης επάνω στη μανέλα (σχήμα 5).

### Ερωτήσεις επανάληψης

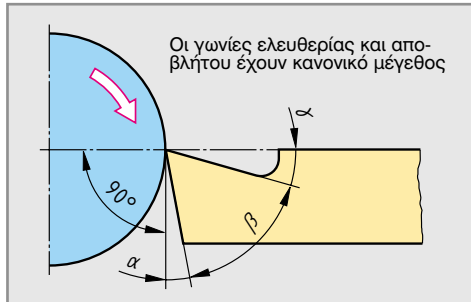
- Ποια υλικά χρησιμοποιούνται για εργαλεία τόρνου;
- Για ποιο λόγο έχουν τα εργαλεία ξεχονδρίσματος μεγάλη ακτίνα κορυφής;
- Πώς κατατάσσονται τα εργαλεία τόρνου σύμφωνα με τη διεύθυνση κοπής;
- Για ποιο λόγο, στις περισσότερες περιπτώσεις τόρνευσης, έχει μεγάλη σπουδαιότητα να βρίσκεται το εργαλείο ακριβώς στο κέντρο;
- Ποιοι κανόνες ισχύουν για τη στερέωση των εργαλείων στον τόρνο;
- Πώς στερεώνονται τα πλακίδια κοπής με οπή στις μανέλες;



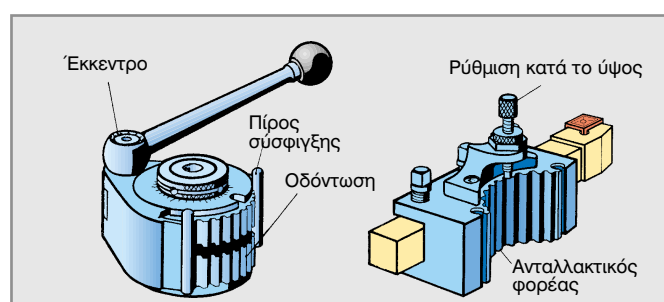
Σχήμα 1: Εργασίες τόρνευσης με τρυπάνι από πλακίδια



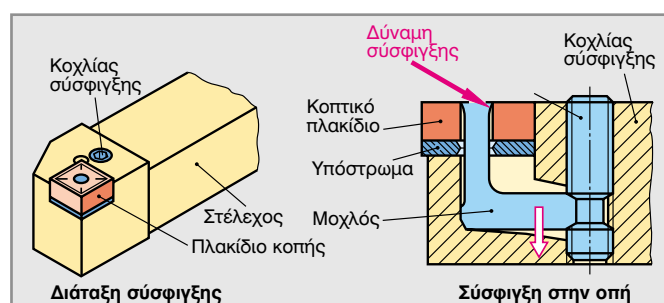
Σχήμα 2: Σύστημα εργαλείων



Σχήμα 3: Εργαλείο στο κέντρο



Σχήμα 4: Φορείς ταχείας αλλαγής



Σχήμα 5: Τρόποι στερέωσης των πλακιδίων κοπής

## 7.7 Έλεγχος υλικών

Ο έλεγχος των υλικών έχει κυρίως τρεις αποστολές:

- Καθορισμός τεχνολογικών ιδιοτήτων των υλικών**, π.χ. της αντοχής, της σκληρότητας και της κατεργασιμότητας. Έτσι, αποκτά κανείς γνώσεις σχετικά με την ικανότητα χρήσεως των υλικών.
- Έλεγχος έτοιμων τεμαχίων**, π.χ. για ρωγμές ή ακατάλληλη θερμική κατεργασία. Με αυτόν τον τρόπο επιζητείται η αποφυγή χρησιμοποιήσεως ελαττωματικών τεμαχίων, τα οποία θα προκαλέσουν ζημιές.
- Εξακρίβωση αιτιών βλάβης σε τεμάχια**, τα οποία έχουν θραυσθεί (**σχήμα 1**). Έτσι, αποφεύγονται στο μέλλον παρόμοιες ζημιές.



**Σχήμα 1:** Θραύση κοίλου άξονα και πιθανές αιτίες θραύσεως οφειλόμενες στο υλικό

### 7.7.1 Έλεγχος στο Μηχανουργείο

Οι έλεγχοι στο μηχανουργείο είναι απλοί έλεγχοι, οι οποίοι μπορούν να γίνουν σε κάθε μηχανουργείο χωρίς ιδιαίτερες συσκευές ή μηχανές. Δίνουν πληροφορίες σχετικές με το είδος του υλικού, τη σύνθεσή του, τις ιδιότητες και τη δυνατότητα χρησιμοποιήσεως. Οι έλεγχοι στο μηχανουργείο δεν δίνουν αριθμητικά αποτελέσματα.

**Κρίση σύμφωνα με την εμφάνιση.** Τα υλικά μπορούν να εκτιμηθούν χονδρικά ανάλογα με την εμφάνισή τους (**πίνακας 1**). Γι' αυτόν το σκοπό καθαρίζει κανείς με τη λίμα ένα μικρό κομμάτι του υλικού, ώστε να φανεί το μεταλλικό χρώμα. Στους χάλυβες και στα χυτοσίδηρα υλικά, μπορεί με βάση την επιφάνεια και τη σύστασή της, να κατατάξει κανείς το υλικό σε μία υποομάδα.

**Έλεγχος σπινθήρων.** Στον έλεγχο σπινθήρων, το προς έλεγχο μεταλλικό τεμάχιο, πιέζεται σε έναν περιστρεφόμενο λειαντικό τροχό, ο οποίος βρίσκεται σε έναν σκοτεινό χώρο. Από την εικόνα των σπινθήρων μπορεί να καταλάβει κανείς το είδος του χάλυβα (έγχρωμος πίνακας, σελ. 539).

**Έλεγχος σε κάμψη και έλεγχος επιφάνειας θραύσεως.** Ένα ραβδόμορφο δοκίμιο συσφίγγεται στη μέγγενη και κάμπτεται. Τα ψαθυρά υλικά δεν κάμπτονται αλλά θραύσνται χωρίς να προηγηθεί παραμόρφωση. Τα σκληρά, ελαστικά υλικά κάμπτονται αλλά δεν θραύσονται. Επανέρχονται στην αρχική τους θέση. Τα μαλακά υλικά κάμπτονται εύκολα, αλλά θραύσονται ύστερα από επανειλημμένες εναλλασσόμενες κάμψεις. Η εμφάνιση της επιφάνειας θραύσεως του δοκίμου επιτρέπει την εκτίμηση του είδους και της σύνθεσης του υλικού και ενδεχόμενα τη θερμική του κατεργασία (πίνακας 1).

| <b>Πίνακας 1: Χαρακτηριστικά αναγνωρίσεως υλικών</b>                           |   |
|--|---|
| <b>Εμφάνιση</b>  | <b>Πιθανολογούμενο υλικό</b>  |
| Διάφορα μεταλλικά χρώματα:<br>Στιλπνό μεταλλικό, κόκκινο, κίτρινο, αργυρόχρωμο | <b>Μέταλλα</b><br>Fe, Cu, CuZn (Ms), Al                                   |
| Καμένη επιφάνεια, στρογγυλευμένες ακμές, κυρτές επιφάνειες                     | <b>Χάλυβας κατασκευών, ελασμένος εν θερμώ</b>                             |
| Στιλπνή επιφάνεια, αιχμηρές ακμές, επίπεδες επιφάνειες                         | <b>Χάλυβας κατασκευών, ελασμένος εν ψυχρώ</b>                             |
| Λεία, αργυρόχρωμη επιφάνεια, Ακριβής διατομή                                   | <b>Χάλυβας εργαλείων με διέλαση</b>                                       |
| Γκριζόμαυρη, τραχιά επιφάνεια, στρογγυλεμένες ακμές                            | <b>Χυτοσίδηρος</b>  |
| <b>Συμπεριφορά στην κάμψη</b>  | <b>Πιθανολογούμενο υλικό</b>  |
| Δεν κάμπτεται, θραύεται σε ισχυρή φόρτιση                                      | Σκληρό, ψαθυρό υλικό, π.χ. χυτοσίδηρος ή χάλυβας βαμμένος χωρίς επαναφορά |
| Κάμπτεται με μεγάλη δύναμη, επανέρχεται  | Σκληρό, ελαστικό υλικό, π.χ. βελτιωμένος χάλυβας για πριονόλαμπες         |
| Κάμπτεται εύκολα, θραύεται ύστερα από πολλές εναλλασσόμενες κάμψεις            | Μαλακό υλικό, π.χ. χάλυβας με ανόπτηση ολκιμότητας                        |
| <b>Επιφάνεια θραύσεως</b>  | <b>Πιθανολογούμενο υλικό</b>  |
| Χονδρόκοκκη, ινώδης επιφάνεια θραύσεως   | Άβαφος χάλυβας  |
| Λεπτόκοκκη, βελούδινη  | Βαμμένος και βελτιωμένος χάλυβας  |
| Χονδρόκοκκος, ινώδης πυρήνας και λεπτόκοκκη επιφανειακή στοιβάδα               | Χάλυβας με επιφανειακή βαφή ή με ενανθράκωση                              |

## 7.7.2 Έλεγχος μηχανικών ιδιοτήτων

Οι μέθοδοι ελέγχου με κρουστική φόρτιση, η φόρτιση εφαρμοζόμενη γρήγορα ή εναλλασσόμενη φόρτιση λέγονται **δυναμικοί έλεγχοι**, π.χ. κάμψη με κρούση, η δυναμική αντοχή και ο έλεγχος σε εξαρτήματα με φορτία λειτουργίας.

Αν, όμως, η φόρτιση αυξάνεται αργά ή παραμένει σταθερή, τότε πρόκειται για **στατικούς έλεγχους**. Σ' αυτούς ανήκουν η δοκιμή σε εφελκυσμό, η δοκιμή σε θλίψη, η δοκιμή σε διάτμηση και οι δοκιμές σκληρότητας.

### 7.7.2.1 Δοκιμή σε εφελκυσμό

Η δοκιμή σε εφελκυσμό εφαρμόζεται για τον προσδιορισμό των χαρακτηριστικών τιμών ενός υλικού σε εφελκυστική καταπόνηση. Η δοκιμή εκτελείται συνήθως με ένα στρογγυλό δοκίμιο (**σχήμα 1**, δεξιά πάνω). Το αρχικό του μήκος  $L_0$  είναι πενταπλάσιο της διαμέτρου του  $d$ .

Εκτός αυτών υπάρχουν και επίπεδα δοκίμια.

#### Εκτέλεση της δοκιμής

Η δοκιμή γίνεται σε **μηχανή ελέγχου γενικής χρήσεως** (**σχήμα 1**).

Το δοκίμιο πακτώνεται σε ειδικές κεφαλές της μηχανής (πάνω και κάτω). Κατόπιν τίθεται σε λειτουργία η μηχανή. Έτσι, ο ζυγός με την πάνω κεφαλή ανέρχεται σιγά-σιγά, ενώ το δοκίμιο φορτίζεται με μία συνεχώς αυξανόμενη δύναμη εφελκυσμού. Με τη δράση αυτής της δύναμης επιμηκύνεται το δοκίμιο (**σχήμα 2**, πάνω τμήμα της εικόνας). Έως τη μέγιστη τιμή της εφελκυστικής δύναμης επιμηκύνεται το δοκίμιο χωρίς ορατή μεταβολή της διατομής του. Κατόπιν, παρουσιάζεται σε κάποια θέση, περίπου στη μέση, μία στένωση της διατομής. Μετά το δοκίμιο επιμηκύνεται σημαντικά και θραύεται στη θέση αυτή. Κατά τη διάρκεια της σμίκρυνσης της διατομής του δοκιμίου, η δύναμη εφελκυσμού μειώνεται συνεχώς και μηδενίζεται με τη θραύση.

#### Αξιολόγηση της δοκιμής

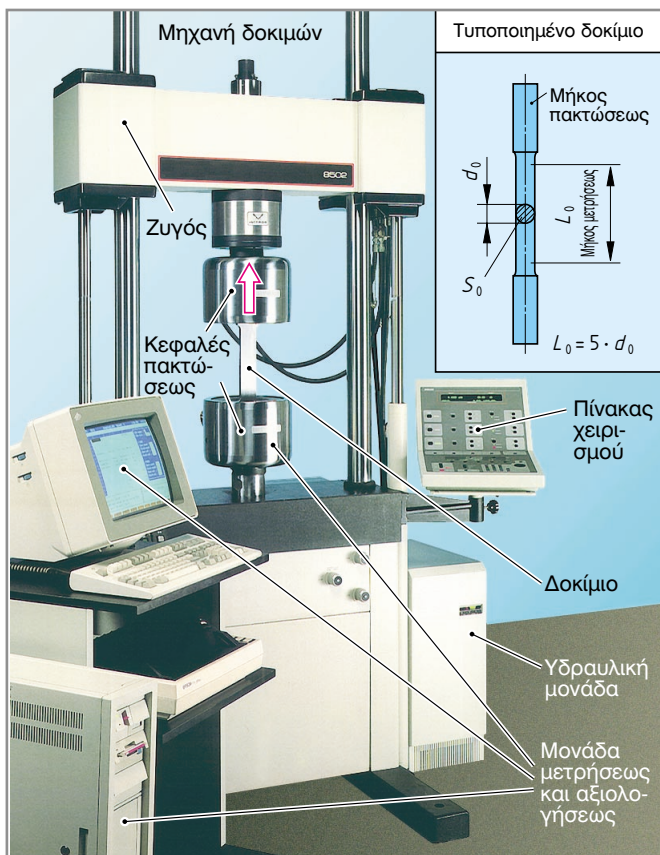
Κατά τη διάρκεια της δοκιμής μετρώνται συνεχώς η δύναμη  $F$  που ενεργεί στο δοκίμιο και η επιμήκυνση  $\Delta L$  του δοκιμίου. Στη μονάδα αξιολογήσεως της μηχανής προσδιορίζεται από την εφελκυστική δύναμη  $F$  και τη διατομή  $S_0$  του δοκιμίου η **εφελκυστική τάση  $\sigma_z$** . Με την επιμήκυνση  $\Delta L = L - L_0$  υπολογίζεται η **ανηγμένη επιμήκυνση  $\varepsilon$** .

#### Εφελκυστική τάση

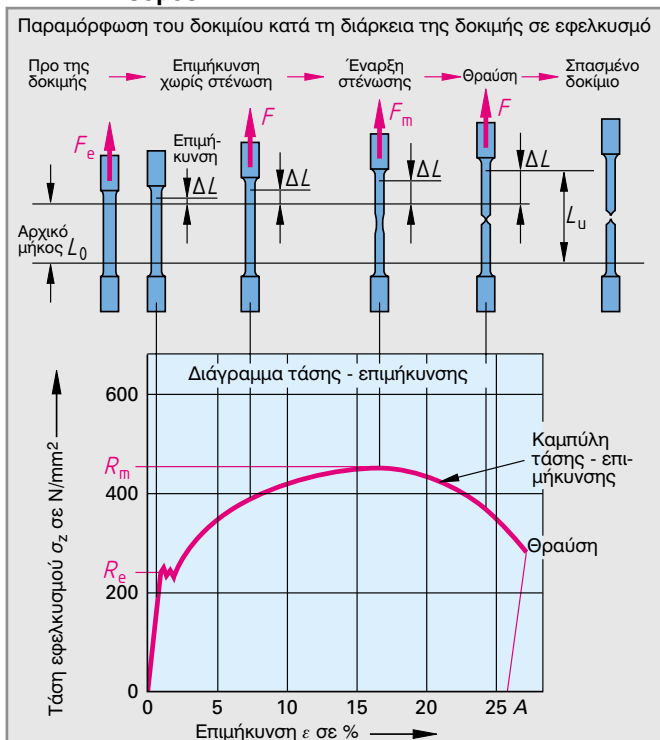
$$\sigma_z = \frac{F}{S_0}$$

$$\text{Ανηγμένη επιμήκυνση} \quad \varepsilon = \frac{L - L_0}{L_0} \cdot 100\% = \frac{\Delta L}{L_0} \cdot 100\%$$

Με μία γραφίδα σχεδιάζονται τα δύο αυτά μεγέθη,  $\sigma_z$  και  $\varepsilon$ , ως καμπύλη στο **διάγραμμα τάσεως-επιμηκύνσεως** (**σχήμα 2**, κάτω τμήμα εικόνας).



Σχήμα 1: Μηχανή ελέγχου γενικής χρήσεως, δοκιμή εφελκυσμού



Σχήμα 2: Διάγραμμα τάσης - επιμήκυνσης με πολύ έμφαντές όριο ροής

## Χαρακτηριστικές τιμές υλικών με εμφανές όριο ροής

Ο καθαρός χάλυβας κατασκευών, π.χ. S235JR (St 37-2) έχει μία καμπύλη τάσης - επιμήκυνσης με **εμφανές όριο ροής** (σχήμα 2, σελ. 545). Εδώ αυξάνεται η τάση  $\sigma_z$ , στην αρχική περίοδο, ανάλογα με την επιμήκυνση  $\varepsilon$ . Γι' αυτόν το λόγο, στην αρχική περίοδο, η καμπύλη είναι μία ευθεία.

Αυτή η αναλογική σχέση μεταξύ τάσης και επιμήκυνσης περιγράφεται με το **νόμο του Hooke**. Ο συντελεστής  $E$  λέγεται **μέτρο ελαστικότητας** και είναι ένα γνώρισμα για την ακαμψία του υλικού. Για χάλυβες είναι  $E = 210000 \text{ N/mm}^2$ .

Κατά την άφιξη στο **όριο ροής  $R_e$**  (σχήμα 2, σελ. 545), επιμηκύνεται το δοκίμιο σημαντικά, ενώ η δύναμη εφελκυσμού παραμένει σταθερή: το δοκίμιο “διαστέλλεται”.

Μετά την περιοχή του ορίου ροής, αυξάνεται η τάση αργά έως το ανώτατο σημείο της καμπύλης. Αυτή η μέγιστη τιμή της τάσεως, ονομάζεται αντοχή σε εφελκυσμό  $R_m$ .

Κατόπιν η καμπύλη κατέρχεται. Η στένωση στο δοκίμιο αυξάνεται και τελικά το δοκίμιο θραύσεται. Η παραμένουσα επιμήκυνση, την οποία υπέστη το υλικό μέχρι την θραύση του, ονομάζεται **επιμήκυνση θραύσεως  $A$**  (σχήμα 2, σελ. 545).

**Παράδειγμα:** Ένα στρογγυλό δοκίμιο, αρχικής διαμέτρου  $d = 8 \text{ mm}$  και αρχικού μήκους  $L_0 = 40 \text{ mm}$  δοκιμάζεται σε εφελκυσμό. Η εφελκυστική δύναμη στο όριο ροής είναι  $F_e = 11810 \text{ N}$ , η μέγιστη εφελκυστική δύναμη  $F_m = 18095 \text{ N}$ . Ύστερα από τη θραύση του δοκιμίου μετρήθηκε μία παραμένουσα επιμήκυνση του αρχικού μήκους  $L_u = 50,8 \text{ mm}$ . Ζητούνται: α) το όριο ροής, β) η αντοχή σε εφελκυσμό και γ) η επιμήκυνση θραύσεως.

$$\text{Λύση: } S_0 = \frac{\pi}{4} \cdot d^2 = \frac{\pi}{4} \cdot (8 \text{ mm})^2 = 50,265 \text{ mm}^2 \quad \text{α) } R_e = \frac{F_e}{S_0} = \frac{11810 \text{ N}}{50,265 \text{ mm}^2} = 235 \frac{\text{N}}{\text{mm}^2}$$

$$\beta) R_m = \frac{F_m}{S_0} = \frac{18095 \text{ N}}{50,265 \text{ mm}^2} = 360 \frac{\text{N}}{\text{mm}^2} \quad \gamma) A = \frac{L_u - L_0}{L_0} \cdot 100\% = \frac{50,8 \text{ mm} - 40 \text{ mm}}{40 \text{ mm}} \cdot 100\% = 27\%$$

|                            |  |
|----------------------------|--|
| <b>Νόμος του Hooke</b>     | $\sigma_z = E \cdot \frac{\varepsilon}{100\%}$ |
| <b>Όριο ροής</b>           | $R_e = \frac{F_e}{S_0}$                        |
| <b>Αντοχή εφελκυσμού</b>   | $R_m = \frac{F_m}{S_0}$                        |
| <b>Επιμήκυνση θραύσεως</b> | $A = \frac{L_u - L_0}{L_0} \cdot 100\%$        |

## Χαρακτηριστικές τιμές υλικών με μη εμφανές όριο ροής

Στα **υλικά χωρίς εμφανές όριο ροής**, π.χ. στο αλουμίνιο και στο χαλκό και στα κράματά τους ή στο βαμμένο χάλυβα, η καμπύλη δεν έχει όριο ροής. Η καμπύλη ανέρχεται συνεχώς από την αρχή και κατέρχεται πάλι συνεχώς, αφού περάσει μία μέγιστη τιμή, μέχρι τη θραύση του δοκιμίου (**σχήμα 1**).

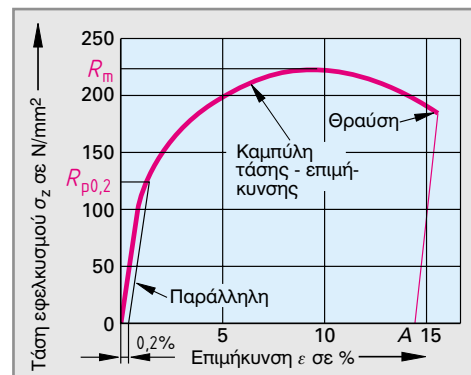
Η τάση στο μέγιστο σημείο της καμπύλης ονομάζεται και εδώ **αντοχή εφελκυσμού  $R_m$**  και η παραμένουσα επιμήκυνση κατά τη θραύση ονομάζεται **επιμήκυνση θραύσεως  $A$**  (τύπος υπολογισμού, βλ. παραπάνω).

Επειδή σ' αυτά τα υλικά δεν υπάρχει το όριο ροής όμως, αυτό έχει μεγάλη σημασία για τους υπολογισμούς αντοχής, έχει εισαχθεί ο όρος **“όριο επιμήκυνσης 0,2%” ( $R_{p0,2}$ )**. Αυτό είναι η τάση, η οποία προκαλεί στο δοκίμιο, ύστερα από την εκφόρτισή του, μία παραμένουσα επιμήκυνση 0,2%. Αυτό το όριο 0,2% ορίζεται στο διάγραμμα με μία παράλληλη προς την ευθεία που χαράσσεται στην αρχή της καμπύλης, και διέρχεται από το σημείο  $\varepsilon = 0,2\%$  (σχήμα 1).

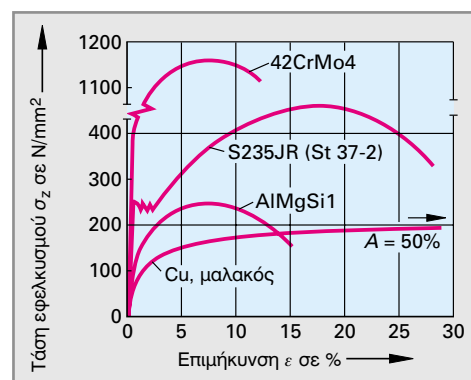
**Παράδειγμα:** Το υλικό που παρουσιάζεται στο σχήμα 1 έχει “όριο ροής 0,2%”, της τάξεως  $R_{p0,2} = 120 \text{ N/mm}^2$ .

## Συγκρινόμενα υλικά

Η καμπύλη τάσης - επιμήκυνσης έχει για κάθε υλικό μία τυπική μορφή. Αν σχεδιάσει κανείς τις καμπύλες των διαφόρων υλικών σε ένα διάγραμμα, τότε αναγνωρίζεται η διαφορετική συμπεριφορά τους στην παραμόρφωση (σχήμα 2).



Σχήμα 1: Διάγραμμα τάσης - επιμήκυνσης χωρίς εμφανές όριο ροής



Σχήμα 2: Διάγραμμα τάσης - επιμήκυνσης διαφόρων υλικών

### 7.7.2.2 Δοκιμή σε θλίψη

Η δοκιμή σε θλίψη χρησιμεύει για τον καθορισμό των μηχανικών χαρακτηριστικών τιμών σε θλιππική φόρτιση.

Σε μία μηχανή δοκιμών γενικής χρήσεως (σχήμα 1, σελ. 545) φορτίζεται ένα δοκίμιο με μία θλιππική δύναμη  $F$ , η οποία αυξάνεται σιγά-σιγά, έως ότου αυτό εμφανίσει ρωγμές ή θραύση (σχήμα 1).

Γενικά, χρησιμοποιούνται κυλινδρικά δοκίμια με διάμετρο 10 mm έως 30 mm, ενώ το ύψος είναι ίσο με το 1,5 της διαμέτρου. Ανάλογα με το υλικό, η μορφή των θλιππικών δοκιμών στο τέλος της δοκιμής είναι διαφορετική. Τα σκληρά - ψαθυρά υλικά, π.χ. ο χυτοσίδηρος ή ο βαμμένος χάλυβας, θραύσονται σε πολλά μεγάλα κομμάτια. Τα συνεκτικά υλικά, π.χ. ο άβαφος χάλυβας, παραμορφώνονται πάροντας μία βαρελοειδή μορφή, η οποία παρουσιάζει ρωγμές κατά τη φορά της δυνάμεως.

Η μέγιστη εμφανιζόμενη τάση στο δοκίμιο θλίψεως λέγεται **αντοχή σε θλίψη  $\sigma_{dB}$** . Αυτή υπολογίζεται από τη μέγιστη θλιππική δύναμη  $F_m$  και την αρχική διατομή  $S_0$  του δοκιμίου.

**Παράδειγμα:** Ένα θλιππικό δοκίμιο με διάμετρο 20 mm θραύσεται στη μέγιστη δύναμη  $F_m = 264523$  N. Ζητείται η αντοχή του σε θλίψη.

$$\text{Λύση: } S_0 = \frac{\pi}{4} \cdot d^2 = \frac{\pi}{4} \cdot (20 \text{ mm})^2 = 314 \text{ mm}^2, \quad \sigma_{dB} = \frac{F_m}{S_0} = \frac{264500 \text{ N}}{314 \text{ mm}^2} = 842 \frac{\text{N}}{\text{mm}^2}$$

### 7.7.2.3 Δοκιμή σε διάτμηση

Με τη δοκιμή σε διάτμηση ελέγχεται η ικανότητα του υλικού σε φόρτιση με διάτμηση.

Ένα κυλινδρικό δοκίμιο φορτίζεται σε μία διάταξη διάτμησεως σε μία μηχανή δοκιμών. Η δύναμη διάτμησεως αυξάνεται σιγά-σιγά και συνεχώς μέχρι τη διάτμηση του δοκιμίου (σχήμα 2).

Η αναγκαία για τη διάτμηση μέγιστη δύναμη  $F_m$  μετριέται και η αντοχή σε διάτμηση  $\tau_{ab}$  υπολογίζεται από τις δύο διατεμνόμενες επιφάνειες ( $2 \cdot S_0$ ).

**Παράδειγμα:** Ένα δοκίμιο με διάμετρο 5 mm ( $S_0 = 19,63 \text{ mm}^2$ ) υποβάλλεται σε διάτμηση και θραύσεται με μία δύναμη 14100 N. Ζητείται η αντοχή σε διάτμηση του υλικού.

$$\text{Λύση: } \tau_{ab} = \frac{F_m}{2 \cdot S_0} = \frac{14100 \text{ N}}{2 \cdot 19,63 \text{ mm}^2} = 359 \frac{\text{N}}{\text{mm}^2}$$

### 7.7.3 Έλεγχος ιδιοτήτων κατεργασίας

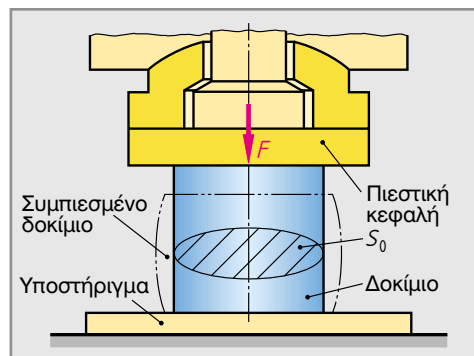
Για τον έλεγχο της καταλληλότητας ενός υλικού, ή ενός ημιέτοιμου τεμαχίου, για κάποια ορισμένη εφαρμογή ή για μία μέθοδο κατεργασίας, χρησιμεύουν οι τεχνολογικές δοκιμές.

#### Τεχνολογικός έλεγχος σε κάμψη (έλεγχος αναδιπλώσεως)

Αυτός ο έλεγχος βοηθά στην εξακρίβωση της δυνατότητας διαμορφώσεως. Αποτελείται από δύο βαθμίδες (σχήμα 3). Στον **έλεγχο κάμψεως** το δοκίμιο κάμπτεται γρήγορα έως ότου επιτευχθεί μια ορισμένη γωνία ή έως ότου εμφανισθεί η πρώτη ρωγμή. Η επιτευχθείσα γωνία  $\alpha$  είναι ένα μέτρο ποιότητας. Στη δοκιμή αναδιπλώσεως γίνεται μια προκαταρκτική κάμψη και κατόπιν αναδιπλώνεται έως  $\alpha = 180^\circ$ .

Στην έκθεση δοκιμής σημειώνονται η γωνία κάμψεως  $\alpha$  και οι παρουσιαζόμενες ρωγμές.

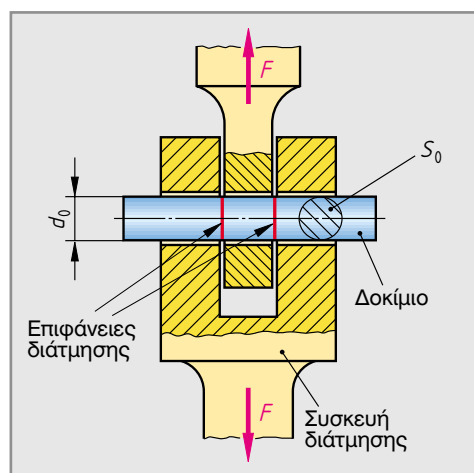
**Παράδειγμα:** Δοκίμιο XYZ, κάμπτεται σε γωνία  $90^\circ$ , καμία ρωγμή.



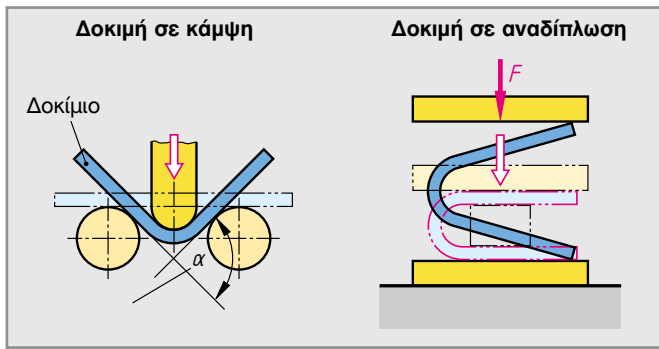
Σχήμα 1: Δοκιμή σε θλίψη

Αντοχή σε θλίψη

$$\sigma_{dB} = \frac{F_m}{S_0}$$



Σχήμα 2: Δοκιμή σε διάτμηση



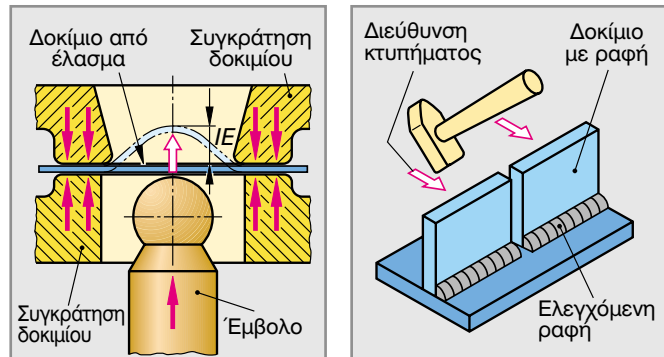
Σχήμα 3: Δοκιμή σε κάμψη (δοκιμή σε αναδίπλωση)

## Έλεγχος σε κοίλανση

Η δοκιμή σε κοίλανση δίνει ενδεικτικές τιμές σχετικά με την καταλληλότητα των ελασμάτων (**σχήμα 1**). Η κεφαλή ενός εμβόλου πιέζεται βραδέως στο έλασμα, έως ότου προκληθεί μία ρωγμή. Το πραγματοποιούμενο βάθος διεισδύσεως σε mm (κοίλωμα Erichsen /E) εκφράζει έναν αριθμό ποιότητας.

## Έλεγχος ραφής συγκολλήσεως

Οι έλεγχοι των ραφών συγκολλήσεως χρησιμεύουν για την κρίση μιας ραφής και την καταλληλότητα του πρόσθετου υλικού (κολλήσεως). Ένα δοκίμιο με μία ραφή κάμπτεται με κτυπήματα σφυριού έως ότου θραυσθεί η ραφή (**σχήμα 2**). Ελέγχεται η κρυσταλλική δομή στη θέση θραύσεως και τα σφάλματα συγκολλήσεως.



Σχήμα 1: Δοκιμή σε κοίλανση

Σχήμα 2: Έλεγχος ραφής από συγκόλληση

## 7.7.4 Έλεγχος σε κάμψη με κτύπημα

Η δοκιμή σε κάμψη με κτύπημα δίνει μια εικόνα σχετική με τη συνεκτικότητα ενός υλικού.

Στη δοκιμή, ένα τυποποιημένο δοκίμιο εδράζεται με τα άκρα του σε δύο στηρίγματα ενός κρουστικού εκκρεμούς (**σχήμα 3**). Η σφύρα του εκκρεμού φέρεται στην αφετηρία της (στο ψηλότερο σημείο) και αφήνεται ελεύθερη. Η σφύρα διαγράφει μια κυκλική τροχιά κατά την πτώση της και κτυπά το δοκίμιο κατά οριζόντια διεύθυνση. Το δοκίμιο θραύσται ή παραμορφωμένο παρασύρεται από τη σφύρα και διέρχεται μεταξύ των στηριγμάτων εδράσεως. Κατά τη δοκιμή αυτή, ένα μέρος της δυναμικής ενέργειας της σφύρας αναλίσκεται κατά την κρούση. Η σφύρα του εκκρεμούς συνεχίζει την κυκλική κίνησή της έως το σημείο αναστροφής της κίνησης, στο οποίο συμπαρασύρεται και ένας δείκτης. Όσο συνεκτικότερο είναι το υλικό του δοκιμίου, τόσο περισσότερο ανακόπτεται η κίνηση της σφύρας.

Η διαφορά των υψών της αφετηρίας και του σημείου αναστροφής είναι ένα μέτρο της **καταναλωθείσας ενέργειας κρούσεως  $W_v$** . Αυτή μπορεί να αναγνωσθεί στη συσκευή ενδείξεων και το αποτέλεσμα της δοκιμής δίνεται σε Joule (J).

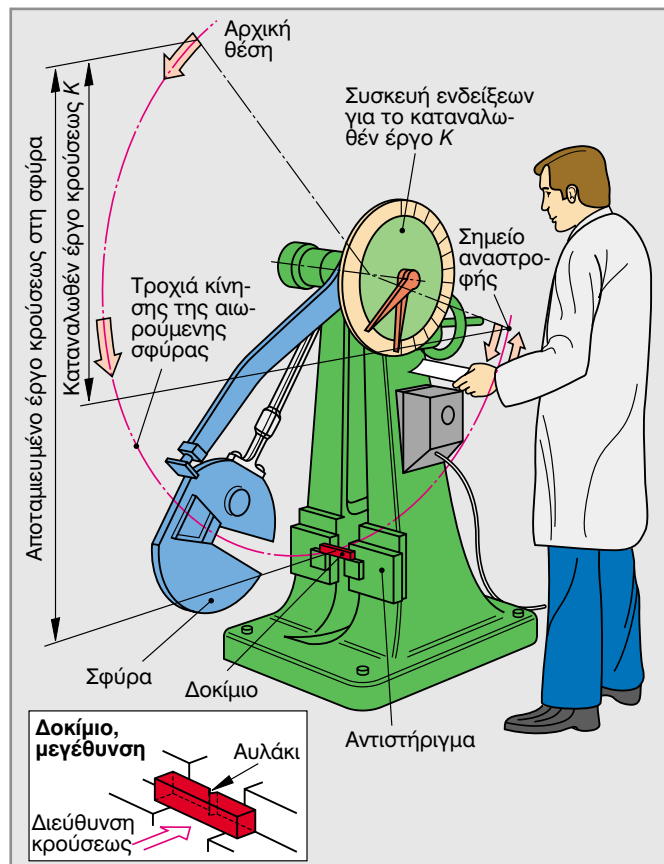
**Παράδειγμα:** Καταχώριση ενός αποτελέσματος ελέγχου:

$$KU = 68 \text{ J}$$

(Το έργο κρούσεως που καταναλώθηκε είναι 68J, μετρημένο με ένα τυποποιημένο δοκίμιο με αυλάκι σχήματος U).

## Ερωτήσεις επανάληψης

1. Ποια αποστολή έχει ο έλεγχος των υλικών;
2. Ποιο διάγραμμα παίρνει κανείς στη δοκιμή σε εφελκυσμό;
3. Ποιες χαρακτηριστικές τιμές δίνει η δοκιμή σε εφελκυσμό ενός υλικού με εμφανές όριο ροής;
4. Τι δηλώνει το όριο επιμηκύνσεως 0,2%;
5. Πώς υπολογίζεται η αντοχή σε διάτμηση;
6. Για ποιο σκοπό γίνονται οι τεχνολογικοί έλεγχοι;
7. Πώς διενεργείται η δοκιμή σε κάμψη με κτύπημα;



Σχήμα 3: Δοκιμή σε κάμψη με κτύπημα

8. Η δοκιμή σε εφελκυσμό ενός δοκιμίου από καθαρό χάλυβα κατασκευών S275JR (St 44-2) με αρχική διάμετρο 16 mm και αρχικό μήκος μετρήσεως 80 mm έδωσε τα εξής αποτελέσματα: Εφελκυστική δύναμη στο όριο ροής  $F_e = 55\ 292 \text{ N}$ , μέγιστη δύναμη εφελκυσμού  $F_m = 96\ 510 \text{ N}$ , μήκος μετά τη θραύση  $L_u = 96,8 \text{ mm}$ . Να υπολογιστούν το όριο ροής, η αντοχή σε εφελκυσμό και η επιμήκυνση θραύσεως.
9. Σε μία δοκιμή εφελκυσμού σε δοκίμιο αρχικής διαμέτρου 10 mm και αρχικού μήκους 50 mm λαμβάνεται επιμήκυνση 0,015 mm, ενώ η δύναμη είναι 5000 N. Ποιο μέτρο ελαστικότητας έχει το ελεγχόμενο υλικό;

## 7.7.5 Έλεγχοι σκληρότητας

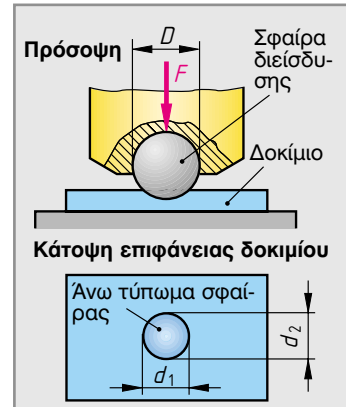
Σκληρότητα είναι η αντίσταση, την οποία προβάλλει ένα υλικό κατά τη διείσδυση ενός σώματος.

### Έλεγχος Σκληρότητας κατά Brinell

Στον έλεγχο σκληρότητας κατά Brinell πιέζεται στο δοκίμιο μια σφαίρα από σκληρομέταλλο ή βαμμένο χάλυβα και μετριέται η διάμετρος του παραχθέντος αποτυπώματος της σφαίρας (σχήμα 1).

Η τιμή της σκληρότητας κατά Brinell υπολογίζεται από τη δύναμη δοκιμής  $F$  (σε N) και την επιφάνεια του αποτυπώματος στο δοκίμιο. Στην πράξη, η τιμή της σκληρότητας HB δίνεται από πίνακες από τη δύναμη  $F$  και τη διάμετρο  $d$  του αποτυπώματος. Οι πίνακες προσφέρονται μαζί με το μηχάνημα. Η δύναμη δοκιμής ρυθμίζεται στη μηχανή (σχήμα 1), ενώ η διάμετρος  $d$  είναι η μέση τιμή των  $d_1$  και  $d_2$  (σχήμα 1):

$$d = \frac{d_1 + d_2}{2}$$



Σχήμα 1: Έλεγχος σκληρότητας κατά Brinell

**Παράδειγμα:** Κατά τον έλεγχο σκληρότητας κατά Brinell με σφαίρα διαμέτρου  $D = 2,5$  mm και δύναμη δοκιμής  $F = 1839$  N, μετρήθηκε μία μέση διάμετρος αποτυπώματος  $d = 1,35$  mm. Ανατρέχουμε στους πίνακες και με τα παραπάνω δεδομένα διαβάζουμε τη σκληρότητα κατά Brinell, η οποία είναι 121 HB. Αυτήν την τιμή μπορούμε να τη βρούμε και από έναν τύπο υπολογισμού.

Με τον έλεγχο σκληρότητας κατά Brinell, μπορούν να ελεγχθούν μόνο μαλακά και μέσης σκληρότητας υλικά.

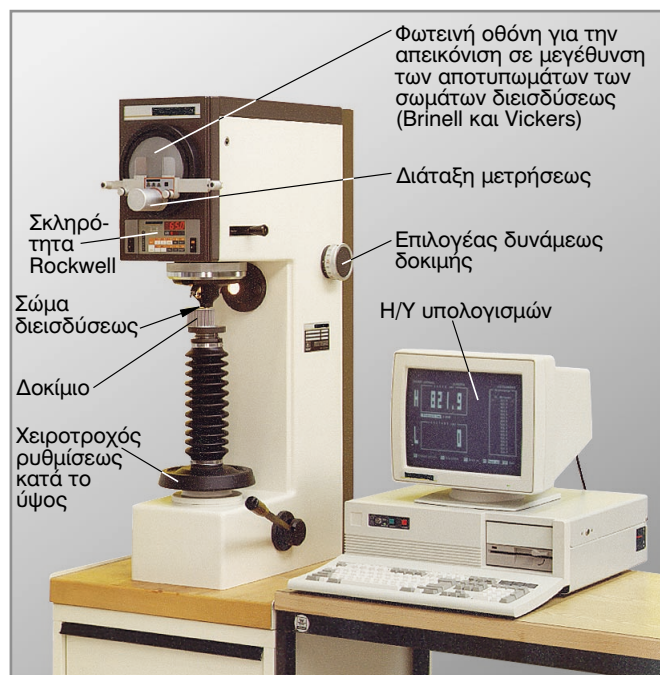
**Εκτέλεση της δοκιμής.** Η δοκιμή της σκληρότητας γίνεται συνήθως σε μηχανές ελέγχου σκληρότητας (σχήμα 2). Το δοκίμιο τοποθετείται στην κατάλληλη επιφάνεια ή πακτώνεται σε ένα φορέα. Με ένα χειροτροχό αναβιβάζεται το δοκίμιο έως τη δοκιμαστική σφαίρα. Κατόπιν απελευθερώνεται η δύναμη δοκιμής. Ύστερα από 10 έως 15 δευτερόλεπτα ανασηκώνεται η σφαίρα και σταματά σε πλάγια θέση. Με μία μεγεθυντική διάταξη προβάλλεται το αποτύπωμα σε μια φωτεινή οθόνη. Εκεί μετριέται με ακρίβεια με τη βοήθεια κατάλληλης μετρητικής διατάξεως.

Η δοκιμή μπορεί να γίνει με σφαίρες διαφόρων διαμέτρων: 1 mm, 2 mm, 2,5 mm, 5 mm και 10 mm. Οι δυνάμεις δοκιμής, όμως, πρέπει να εκλεγούν έτσι, ώστε ο βαθμός φορτίσεως  $0,102 \cdot F/D^2$  να παραμένει σταθερός. Γι' αυτόν το λόγο, έχει καθοριστεί για κάθε ομάδα της περίπου ίδιας σκληρότητας ένας βαθμός φορτίσεως. Από πίνακες μπορεί κανείς να ρυθμίσει τη δύναμη δοκιμής σύμφωνα με τη διάμετρο της σφαίρας.

**Συντομογραφία.** Η τιμή της σκληρότητας κατά Brinell δίδεται συμβολικά. Ο συμβολισμός αποτελείται από την τιμή της σκληρότητας, τα χαρακτηριστικά γράμματα HBW (σφαίρα από σκληρομέταλλο) ή HBS (χαλύβδινη σφαίρα) και τις συνθήκες δοκιμής (βλ. παράδειγμα παραπλεύρων).

Αν η διάρκεια διεισδύσεως είναι 10 έως 15 δευτερόλεπτα, τότε δεν αναφέρεται στο συμβολισμό.

**Σκληρότητα και αντοχή σε εφελκυσμό.** Στον καθαρό χάλυβα μπορεί να υπολογιστεί η αντοχή σε εφελκυσμό  $R_m$  από τη σκληρότητα HBW ή HBW, προσεγγιστικά. Ο τύπος υπολογισμού είναι  $R_m \approx 3,5 \cdot HB$ .



Σχήμα 2: Μηχανή ελέγχου σκληρότητας

| Παράδειγμα καταχωρίσεως σκληρότητας κατά Brinell   |                                     |  |                                     |    |
|--|-------------------------------------|--|-------------------------------------|----|
| Τιμή σκληρότητας                                   | 229                                 | HBW  | 2,5 / 187,5                         | 30 |
| Σκληρότητα κατά Brinell (σφαίρα από σκληρομέταλλο) | Διάμετρος σε mm της σφαίρας δοκιμής | Δύναμη δοκιμής $F = 187,5 \cdot 9,81 \text{ N} = 1839 \text{ N}$ | Διάρκεια διεισδύσης σε δευτερόλεπτα |    |

### Έλεγχος σκληρότητας κατά Vickers

Στον έλεγχο σκληρότητας κατά Vickers διεισδύει η κορυφή μιας τετραπλής πυραμίδας από διαμάντι (γωνία κορυφής  $136^\circ$ ) στο δοκίμιο και μετρώνται οι διαγώνιες του δημιουργημένου αποτυπώματος (**σχήμα 1**).

**Η τιμή της σκληρότητας κατά Vickers υπολογίζεται** από τη δύναμη δοκιμής  $F$  (σε N) και τη διαγώνιο  $d$  του αποτυπώματος (σε mm), σύμφωνα με τον τύπο:

$$HV = 0,189 \frac{F}{d^2}$$

Η διαγώνιος  $d$  υπολογίζεται από μέτρηση των δύο διαγωνίων  $d_1$  και  $d_2$  του αποτυπώματος (**σχήμα 1**) και υπολογισμό της μέσης τιμής  $d = d_1 + d_2/2$ .

**Παράδειγμα:** Ένα αποτύπωμα πυραμίδας με  $d = 0,47$  mm και δύναμη δοκιμής  $F = 490,3$  N δίνει μία σκληρότητα κατά Vickers ίση προς:

$$HV 50 = 0,189 \cdot \frac{490,3}{0,47^2} = 419$$

Στην πράξη η τιμή HV διαβάζεται σε πίνακες **εκτέλεση δοκιμής**. Η μέτρηση της σκληρότητας κατά Vickers συνήθως γίνεται στη μηχανή ελέγχου σκληρότητας γενικής χρήσεως (σχήμα 2, σελ. 549), με όμοιο τρόπο όπως και η μέτρηση κατά Brinell.

Το αποτύπωμα της πυραμίδας δίνει πάντοτε ευκρινή όρια, τα οποία μπορούν να μετρηθούν με ακρίβεια. Ως δυνάμεις στη μέτρηση για **μακροσκοπικό έλεγχο** εφαρμόζονται: 49,03 N (HV 5), 98,07 N (HV 10), 196,1 N (HV 20), 294,2 N (HV 30), 490,3 N (HV 50) και 980,7 N (HV 100).

Στον έλεγχο σκληρότητας κατά Vickers χρησιμοποιείται για τη διείσδυση μόνον ένα σώμα, με το οποίο ελέγχονται και τα μαλακά και τα σκληρά υλικά.

**Συντομογραφία.** Η σκληρότητα κατά Vickers δίνεται συμβολικά. Ο συμβολισμός περιλαμβάνει την τιμή της σκληρότητας, τα συμβολικά γράμματα HV και τις συνθήκες μετρήσεως (παράδειγμα).

Αν η διάρκεια διεισδύσεως είναι 10 έως 15 δευτερόλεπτα, τότε δεν αναφέρεται αυτό στο συμβολισμό, δηλ. π.χ. 360 HV50.

Για μαλακά και μέσης σκληρότητας υλικά (έως 350 HV) οι μετρήσεις κατά Brinell και Vickers δίνουν τα ίδια αριθμητικά αποτελέσματα. Σε σκληρότερα όμως υλικά οι τιμές διαφέρουν μεταξύ τους.

**Μικροσκοπικός έλεγχος σκληρότητας κατά Vickers με μικρά φορτία.** Αν πρέπει το αποτύπωμα της πυραμίδας να είναι μικρό, τότε χρησιμοποιούνται συσκευές μετρήσεως σκληρότητας με μικρές δυνάμεις. Οι δυνάμεις δοκιμής σ' αυτήν την περίπτωση είναι 2 N έως 50 N (HV 0,2 έως HV 5) και δίνουν αποτυπώματα, τα οποία μετρώνται με ένα μικροσκόπιο, το οποίο είναι ενσωματωμένο στη συσκευή. Η μέτρηση σκληρότητας εφαρμόζεται για τον έλεγχο σκληρότητας λεπτών στρωμάτων και σε έτοιμα αντικείμενα. Αν ο έλεγχος περιορίζεται σε **μικροσκοπικές περιοχές** π.χ. σε μεμονωμένους κόκκους της δομής, εφαρμόζονται τότε δυνάμεις μικρότερες των 2 N.

**Έλεγχος σκληρότητας κατά Knoop.** Ο έλεγχος αυτός γίνεται όπως και ο έλεγχος κατά Vickers και χρησιμεύει για τον έλεγχο σκληρών-ψαθυρών υλικών, π.χ. κεραμικών. Το σώμα διεισδύσεως είναι μία πυραμίδα διαμαντιού με βάση ρόμβο.

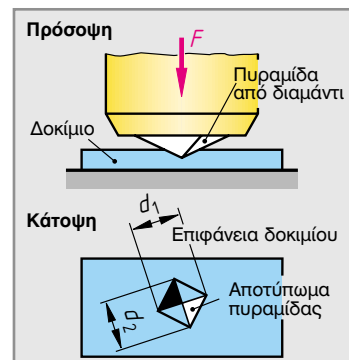
### Έλεγχος σκληρότητας κατά Rockwell

Στις μετρήσεις σκληρότητας κατά Rockwell (**σχήμα 2**), αρχικά φορτίζεται το σώμα διεισδύσεως, μορφής κώνου ή πυραμίδας, με μία προκαταρκτική δύναμη (98 N) και μηδενίζεται το μετρητικό ρολόι (**σχήμα 1**, σελ. 551). Κατόπιν εφαρμόζεται η κυρίως δύναμη π.χ. 1373 N στη μέθοδο Rockwell C και ύστερα από μικρό χρόνο αυτό διακόπτεται. Η παραμένουσα διείσδυση  $h$  του σώματος μπορεί να διαβαστεί κατευθείαν στο μετρητικό ρολόι σαν σκληρότητα Rockwell.

Για σκληρά υλικά χρησιμοποιούνται ως σώμα διεισδύσεως ένας κώνος από διαμάντι με γωνία κορυφής  $120^\circ$  (π.χ. **μέθοδοι HRC** και **HRA**).

Για μαλακά υλικά χρησιμοποιούνται χαλύβδινες βαμμένες σφαίρες διαμέτρου 1,59 mm ή 3,175 mm (π.χ. **μέθοδοι HRB** και **HRF**).

**Συντομογραφία:** Η συντομογραφία της σκληρότητας κατά Rockwell περιλαμβάνει την τιμή της σκληρότητας και το χαρακτηριστικό της μεθόδου που εφαρμόστηκε (παράδειγμα).



Σχήμα 1: Έλεγχος σκληρότητας κατά Vickers

| Παράδειγμα καταχωρήσεως σκληρότητας κατά Vickers |                         |  |                                      |
|--|-------------------------|--|--------------------------------------|
| Τιμή σκληρότητας                                 | Σκληρότητα κατά Vickers | Δύναμη δοκιμής $F = 50 \cdot 9,81 \text{ N} = 490,5 \text{ N}$ | Διάρκεια διεισδύσεως σε δευτερόλεπτα |



Σχήμα 2: Έλεγχος κατά Rockwell

| Παράδειγμα καταχωρήσεως σκληρότητας κατά Rockwell |     |
|---|-----|
| 56  | HRC |

Η πορεία εργασίας σε όλα τα είδη μετρήσεως της σκληρότητας κατά Rockwell είναι η ίδια. Αποτελείται από 4 φάσεις (**σχήμα 1**).

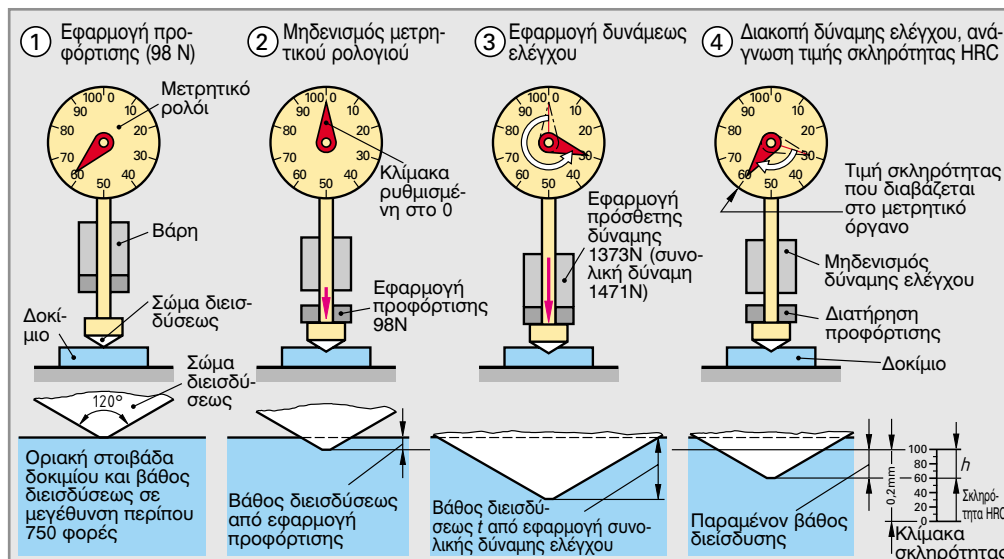
Στο παραπλεύρως σχήμα φαίνεται το παράδειγμα δοκιμής HRC. Οι δυνάμεις δοκιμής είναι για:

$$\text{HRC: } F = 1373 \text{ N}$$

$$\text{HRA: } F = 490,3 \text{ N}$$

$$\text{HRB: } F = 882,6 \text{ N}$$

$$\text{HRF: } F = 490,3 \text{ N}$$

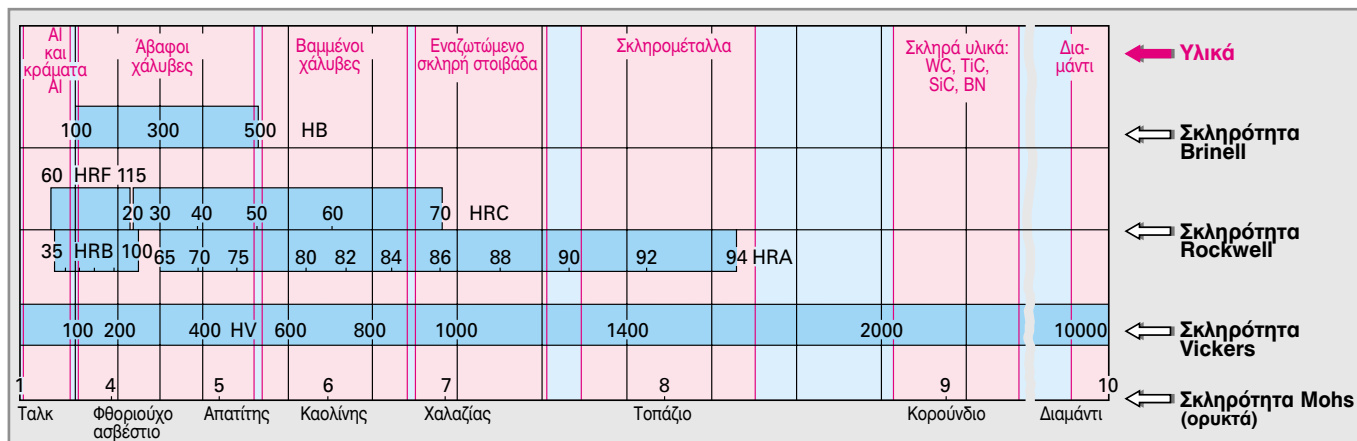


**Σχήμα 1: Πορεία εργασίας κατά τον έλεγχο σκληρότητας κατά Rockwell (HRC)**

### Σύγκριση μεθόδων μέτρησης σκληρότητας

| Μέθοδος                           | Σώμα διείσδυσης     | Μετρούμενη τιμή        | Χαρακτηριστικά γνωρίσματα της μεθόδου, εφαρμογή   |
|-----------------------------------|---------------------|------------------------|---|
| Brinell HB                        | Χαλύβδινη σφαίρα    | Διάμετρος αποτυπώματος | Ακριβείς, αναπαραγόμενες τιμές. Μόνον για μαλακά και μέσης σκληρότητας υλικά, π.χ. για ανοπτημένο και βελτιωμένο χάλυβα, Al, Cu και κράματά τους.                                       |
| Vickers HV                        | Πυραμίδα διαμαντιού | Διαγώνιος αποτυπώματος | Εφαρμόσιμος σε κάθε περίπτωση, ακόμη και για μετρήσεις μικρού φορτίου και μικροσκοπικού μεγέθους. Για μαλακά έως πολύ σκληρά υλικά, επιφανειακές στιβάδες, τιμήματα κρυσταλλικής δομής. |
| Rockwell HRC<br>HRA<br>HRB<br>HRF | Κώνος διαμαντιού    | Βάθος αποτυπώματος     | Άμεση ένδειξη της σκληρότητας. Για σκληρά υλικά, π.χ. βαμμένοι χάλυβες και κράματα, σκληρομέταλλα.  |
|                                   | Χαλύβδινη σφαίρα    | Βάθος αποτυπώματος     | Άμεση ένδειξη της σκληρότητας. Για μαλακά υλικά, π.χ. άβαφοι χάλυβες, ελαφρά μέταλλα, υλικά χαλκού και κράματα.   |

Στο σχήμα 2 φαίνεται ένα συγκριτικό γράφημα, από το οποίο μπορεί κανείς να καθορίσει τη μέθοδο που θα χρησιμοποιήσει και για ποιο υλικό. Από εδώ φαίνεται η περιορισμένη περιοχή εφαρμογής των μεθόδων Brinell και Rockwell και η δυνατότητα χρησιμοποιήσεως της μεθόδου Vickers για κάθε περίπτωση.



**Σχήμα 2: Περιοχές εφαρμογής και σύγκριση των τιμών σκληρότητας των διαφόρων μεθόδων ελέγχου σκληρότητας**

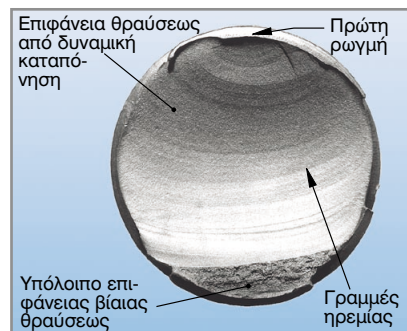
### Ερωτήσεις επανάληψης

- Τι εννοείται με τον όρο σκληρότητα;
- Πώς εκτελείται η μέτρηση της σκληρότητας κατά Brinell;
- Για ποιο λόγο γίνεται ο μικροσκοπικός έλεγχος σκληρότητας;
- Για ποια υλικά είναι κατάλληλος ο έλεγχος της σκληρότητας κατά Brinell ή κατά Vickers;
- Ποια πλεονεκτήματα έχει ο έλεγχος σκληρότητας κατά Rockwell έναντι του ελέγχου κατά Brinell ή Vickers;
- Ο έλεγχος σκληρότητας κατά Vickers HV 50 ενός τεμαχίου από βαμμένο χάλυβα δίνει μήκη διαγώνιων αποτυπώματος 0,35 mm και 0,39 mm. Ζητείται η σκληρότητα του χάλυβα κατά Vickers.

### 7.7.6 Έλεγχος δυναμικής αντοχής

Τα εξαρτήματα των μηχανών συχνά υφίστανται φορτίσεις, οι οποίες μέσα σε ένα μεγάλο χρονικό διάστημα επαναλαμβάνονται. Αυτό ισχύει ιδιαίτερα για στοιχεία μηχανών, όπως κοχλίες, άξονες και ατράκτους. Αυτά τα εξαρτήματα μπορεί να σπάσουν, ακόμη και αν η εναλλασσόμενη φόρτιση βρίσκεται πολύ κάτω από το όριο αντοχής του υλικού. Αυτό το είδος θραύσεως ονομάζεται δυναμική θραύση ή θραύση λόγω κοπώσεως του υλικού. Η θραύση λόγω κοπώσεως αναγνωρίζεται από την τυπική εμφάνιση της επιφάνειας θραύσεως (σχήμα 1).

Έχει μία πρώτη ρωγμή, μια επιφάνεια δυναμικής θραύσεως με γραμμές ηρεμίας και ένα υπόλοιπο επιφάνειας με βίαιη θραύση.



Σχήμα 1: Δυναμική θραύση μιας ατράκτου

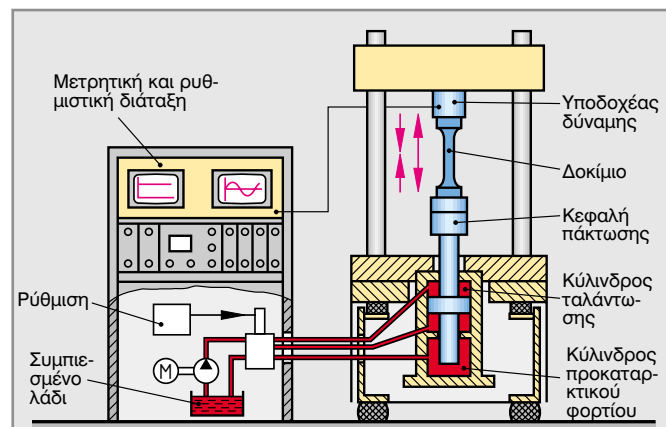
Ο δυναμικός έλεγχος γίνεται σε μια μηχανή, η οποία φορτίζει το δοκίμιο με εναλλασσόμενες δυνάμεις σε ταχύ ρυθμό (π.χ. με συχνότητα 50 εναλλαγές δονήσεων ανά δευτερόλεπτο). Οι εναλλασσόμενες δυνάμεις είναι θλιπτικές - εφελκυστικές (σχήμα 2).

Στον έλεγχο της δυναμικής καταπονήσεως είναι δυνατές διάφορες περιοχές καταπονήσεως (σχήμα 3). Η καταπόνηση μπορεί να κυμαίνεται γύρω από το μηδέν ( $\sigma_m < 0$ ), οπότε καλείται εναλλασσόμενη φόρτιση. Αν η μέση τιμή της τάσεως βρίσκεται στη θλιπτική περιοχή ( $\sigma_m < 0$ ) ή στην εφελκυστική ( $\sigma_m > 0$ ), τότε η φόρτιση καλείται θλιπτική αναπαλλόμενη και αντίστοιχα εφελκυστική αναπαλλόμενη. Η μέγιστη τιμή της τάσεως καλείται εύρος τάσεως  $\sigma_A$ .

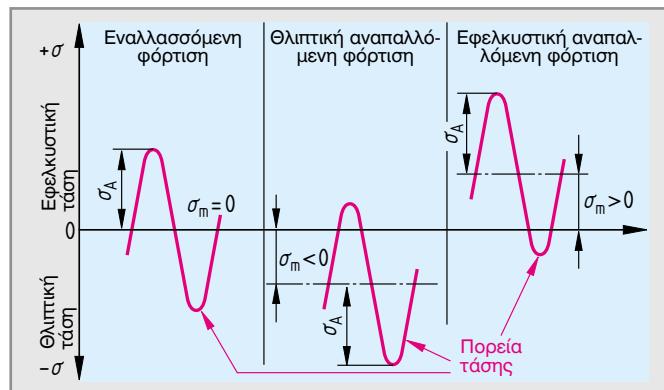
Η κάθε μία δυναμική δοκιμή συνεχίζεται τόσο, έως τη θραύση του δοκιμίου ή αντίστοιχα, αν το δοκίμιο αντέξει  $10^7 = 10\,000\,000$  εναλλαγές φορτίου. Πάντοτε μετριέται ο αριθμός των εναλλαγών, τις οποίες μπορεί να αντέξει το δοκίμιο και ο οποίος καλείται αριθμός εναλλαγών θραύσεως  $N$ .

Μια σειρά δοκιμών δυναμικής συμπεριφοράς αποτελείται από δέκα περίπου δοκίμια του ίδιου υλικού. Το εύρος  $\sigma_A$  της εναλλασσόμενης τάσεως, με αφετηρία το όριο ροής  $R_e$ , μειώνεται από δοκιμή σε δοκιμή. Σε ένα διάγραμμα καταχωρούνται τα αποτελέσματα των επιμέρους δοκιμών (σχήμα 4). Ενώνοντας τα σημεία προκύπτει η καμπύλη του Wöhler (August Wöhler: Ερευνητής υλικών). Η καμπύλη στην αρχή είναι πτωτική και κατόπιν, περίπου από  $10^6 = 1.000.000$  εναλλαγές φορτίου, γίνεται οριζόντια. Η τάση που αντιστοιχεί σ' αυτόν τον κλάδο λέγεται δυναμική αντοχή  $\sigma_D$ .

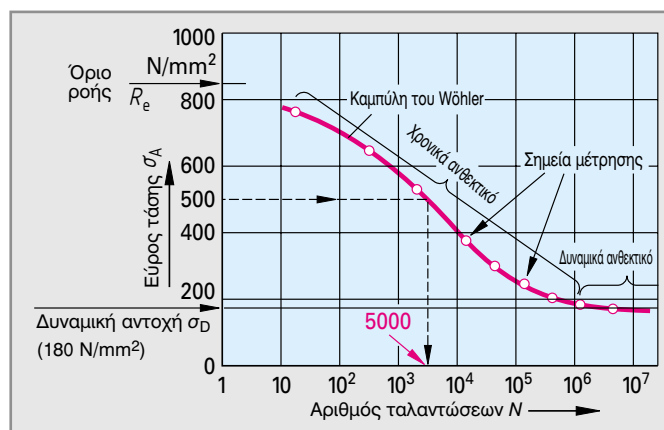
Όταν το υλικό φορτιστεί με εναλλασσόμενη τάση, η οποία βρίσκεται κάτω από τη δυναμική αντοχή  $\sigma_D$ , τότε το υλικό αντέχει και σε άπειρο πλήθος εναλλαγών φορτίου. Είναι ανθεκτικό στη δυναμική καταπόνηση. Ο κραματοχάλυβας π.χ., που φαίνεται στο σχήμα 4 είναι ανθεκτικός στη δυναμική καταπόνηση, αν αυτή είναι μικρότερη των  $180 \text{ N/mm}^2$ . Αν φορτιστεί με εναλλασσόμενη τάση, μεγαλύτερη της δυναμικής αντοχής του, τότε θα σπάσει σύμφωνα με τον αριθμό εναλλαγών θραύσεως. Στην περίπτωση αυτή ο κραματοχάλυβας έχει χρονική αντοχή. Το υλικό του σχήματος 4 έχει, π.χ. σε εναλλασσόμενη φόρτιση 500  $\text{N/mm}^2$ , μόνον 5000 εναλλαγές χρονική αντοχή.



Σχήμα 2: Μηχανή δυναμικών ταλαντώσεων



Σχήμα 3: Περιοχή της ταλαντούμενης φορτίσεως



Σχήμα 4: Καμπύλη του Wöhler για έναν κραματοχάλυβα

**Αντοχή μορφής.** Οι χαρακτηριστικές τιμές ενός υλικού, οι οποίες έχουν προσδιοριστεί με δοκιμή σε δυναμική αντοχή, ισχύουν για δοκίμια με λεία επιφάνεια και μορφή ράβδου. Όμως, τα διάφορα εξαρτήματα έχουν μορφή σύμφωνα με τη λειτουργία που εκτελούν. Για να μπορέσει να πει κανείς κάτι σχετικό με την ικανότητα σε φόρτιση ενός συγκεκριμένου εξαρτήματος, πρέπει να υποβάλλει σε δοκιμασία δοκίμια με τη μορφή του εξαρτήματος. Η δυναμική αντοχή, η οποία προσδιορίζεται έτσι, λέγεται αντοχή μορφής.

### 7.7.7 Έλεγχος εξαρτήματος με δυνάμεις λειτουργίας

Τα διάφορα εξαρτήματα, στην κανονική τους λειτουργία, είναι εκτεθειμένα σε έναν αριθμό δυνάμεων, οι οποίες ενεργούν ταυτόχρονα. Ένας βραχίονας εκσκαφέα, για παράδειγμα, είναι φορτισμένος ταυτόχρονα σε εφελκυσμό, θλίψη, στρέψη και ταλαντώσεις. Αυτές οι αλληλοεπικαλυπτόμενες φορτίσεις και η επίδρασή τους στα εξαρτήματα, δεν μπορούν να αξιολογηθούν σε ένα δοκίμιο, αλλά μόνον στο έτοιμο εξάρτημα.

Στον έλεγχο εξαρτήματος με δυνάμεις λειτουργίας δοκιμάζονται έτοιμα τεμάχια μηχανών με φορτία, τα οποία θα εμφανιστούν αργότερα στην κανονική λειτουργία.

Γι' αυτόν το σκοπό, ένα εξάρτημα υποβάλλεται σε φορτίσεις στο δοκιμαστήριο, οι οποίες μπορούν να εξομοιωθούν με αυτές της κανονικής λειτουργίας. Ένας βραχίονας εκσκαφέα, για παράδειγμα, με τη βοήθεια υδραυλικών κυλίνδρων, υποβάλλεται σε εναλλασσόμενες φορτίσεις κατά τη διεύθυνσή του και εγκάρσια (σχήμα 1). Τα ασθενή σημεία του εξαρτήματος φαίνονται από τις παραμορφώσεις ή τη θραύση τους.

### 7.7.8 Έλεγχος χωρίς καταστροφή του υλικού

Χρησιμοποιείται για την εξακρίβωση σφαλμάτων (ρωγμών, φυσαλίδων, εγκλωβισμών) στις πρώτες ύλες και στα έτοιμα τεμάχια. Στην προκειμένη περίπτωση δεν χρειάζεται η λήψη δοκιμίου από το εξεταζόμενο υλικό, ούτε η πρόκληση ζημιών στο ελεγχόμενο εξάρτημα.

#### Έλεγχος με μεθόδους διεισδύσεως

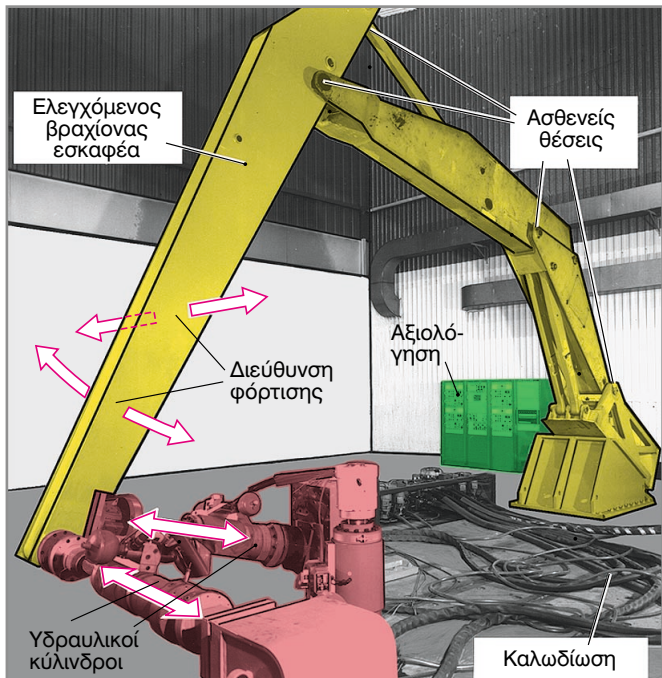
Αυτές οι μέθοδοι, γνωστές και με τα ονόματα: **τριχοειδική μέθοδος, μέθοδος αναρροφήσεως και μέθοδος διαπερατότητας**, είναι κατάλληλες για την ανεύρεση λεπτότατων τριχοειδών ρωγμών, οι οποίες φθάνουν έως την επιφάνεια του αντικειμένου.

Στη **μέθοδο Met-L-Chek**, ψεκάζεται κόκκινο χρώμα στην επιφάνεια του ελεγχόμενου τεμαχίου. Το χρώμα διεισδύει σε υπάρχουσες τροχοειδείς ρωγμές. Κατόπιν το εξάρτημα πλένεται καλά και κατόπιν ψεκάζεται πάλι με λευκό χρώμα, το οποίο φέρει προς τα έξω το κόκκινο χρώμα, το οποίο βρίσκεται στις ρωγμές. Έτσι, γίνονται ορατές ρωγμές, οι οποίες δεν ήταν ορατές ούτε με μεγεθυντικό φακό.

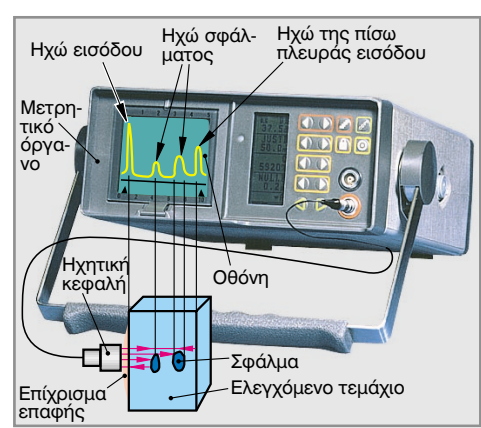
Στη **μέθοδο της φθοριώσεως**, η οποία εκτελείται όπως και η μέθοδος Met-L-Chek, χρησιμοποιείται ως υγρό διεισδύσεως φθορίζοντα υλικά, τα οποία σε σκοτεινό χώρο και με την επίδραση υπεριώδους ακτινοβολίας, ακτινοβολούν στις θέσεις σφαλμάτων.

#### Έλεγχος με υπερήχους

Στον έλεγχο με υπερήχους μπορούν να διαπιστωθούν σφάλματα στο εσωτερικό των τεμαχίων. Η συσκευή υπερήχων αποτελείται από την ηχητική κεφαλή και ένα μικρό φορητό μετρητικό όργανο με οθόνη (σχήμα 2). Κατά τον έλεγχο τοποθετείται η ηχητική κεφαλή στο τεμάχιο. Η κεφαλή εκπέμπει υπερήχους, οι οποίοι διεισδύουν στο τεμάχιο. Η συχνότητά τους είναι τόσο μεγάλη, που δεν γίνεται αντιληπτή από το ανθρώπινο αυτί. Τα ηχητικά κύματα διαπερνούν το τεμάχιο και ανακλώνται στην εμπρόσθια επιφάνειά του, στην πίσω και στα τυχόν σφάλματα στο εσωτερικό του. Τα ανακλώμενα ηχητικά κύματα φαίνονται στην οθόνη ως κορυφές. Η θέση και το μέγεθος των σφαλμάτων μέσα στο τεμάχιο, μπορούν να διαβαστούν στην οθόνη από τη θέση και το μέγεθος των κορυφών. Κατά τον έλεγχο με ακτίνες γ, ως πηγή της ακτινοβολίας χρησιμοποιείται ραδιενέργο υλικό, όπως κοβάλτιο 60. Οι ακτίνες γ μπορούν να διαπεράσουν υλικά μεγάλου πάχους, όπως χάλυβα έως 200 mm. Ο χειρισμός των ακτίνων Rontgen και γ επαφίεται στον ειδικό, διότι αυτές μπορούν να δημιουργήσουν βαρείες σωματικές βλάβες.



Σχήμα 1: Έλεγχος με δυνάμεις λειτουργίας ενός βραχίονα εκσκαφέα



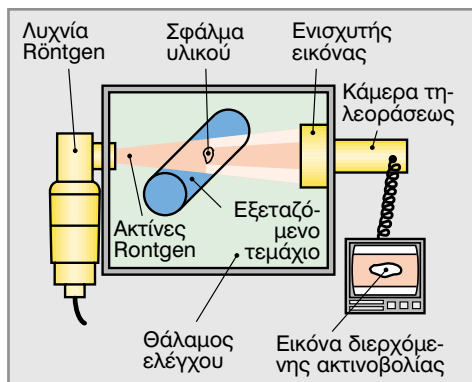
Σχήμα 2: Έλεγχος με υπερήχους

### Έλεγχος με ακτίνες X (Röntgen) και γ

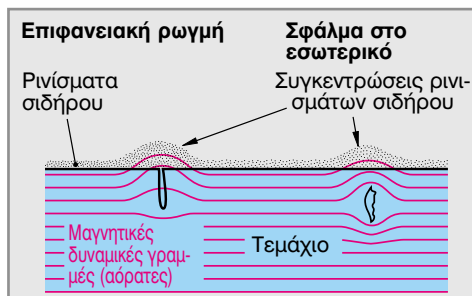
Για τον **έλεγχο με ακτίνες Röntgen** τοποθετείται το αντικείμενο στην πορεία των ακτίνων μιας λυχνίας Röntgen (**σχήμα 1**). Με μία κάμερα τηλεόρασης γίνεται λήψη του δοκιμίου, η οποία προβάλλεται σε μία οθόνη. Οι θέσεις με ελαττώματα στο εξεταζόμενο τεμάχιο παρουσιάζονται σαν φωτεινότερες θέσεις. Οι ακτίνες Röntgen διαπερνούν πάχος χάλυβα έως 80 mm και αλουμινίου έως 400 mm.

Στον **έλεγχο με ακτίνες γ** χρησιμοποιούνται, ως πηγή ακτινοβολίας, ραδιενεργά υλικά, π.χ. κοβάλτιο 60. Επάνω σε ένα φίλμ προβάλλεται το αντικείμενο που εξετάζεται. Τα ελαττώματα παρουσιάζονται ως φωτεινότερες θέσεις. Οι ακτίνες γ διαπερνούν χάλυβα έως 200 mm πάχους.

Ο έλεγχος με ακτίνες Röntgen και γ επιτρέπεται να εκτελείται μόνον από ειδικευμένο προσωπικό. Προσοχή: Κίνδυνος από ακτινοβολία.



Σχήμα 1: Έλεγχος με ακτίνες Röntgen



Σχήμα 2: Μέθοδος με μαγνητική σκόνη

### Έλεγχος με τη μέθοδο της μαγνητικής σκόνης

Εδώ μαγνητίζεται το αντικείμενο. Οι μαγνητικές δυναμικές γραμμές παρουσιάζουν μεγαλύτερη πυκνότητα στις θέσεις σφαλμάτων ή ρωγμών. Κατά τον έλεγχο χύνεται πετρέλαιο στο αντικείμενο. Μέσα στο πετρέλαιο έχουν αναμιχθεί λεπτά ρινίσματα σιδήρου. Αυτά συγκεντρώνονται κυρίως γύρω από τις θέσεις σφαλμάτων, λόγω μεγαλύτερης πυκνότητας των μαγνητικών γραμμών εκεί, και έτσι γίνονται ορατές οι ρωγμές (**σχήμα 2**).

### 7.7.9 Μεταλλογραφικές εξετάσεις

Οι μεταλλογραφικές εξετάσεις καθιστούν ορατή τη δομή των υλικών.

#### Εικόνες της κρυσταλλικής δομής χωρίς μεγέθυνση

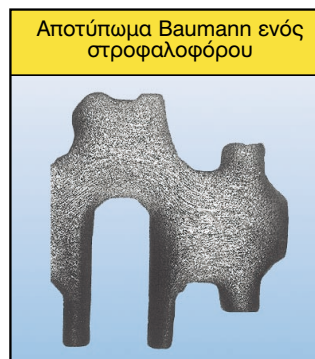
Αν πιέσει κανείς μια πρόσφατα στιλβωμένη επιφάνεια επάνω σε προπαρασκευασμένο φωτογραφικό χαρτί, τότε γίνεται ορατή η κατανομή του φωσφόρου και του θείου μέσα στο χάλυβα (**σχήμα 3**). Αυτό το “**αποτύπωμα Baumann**” χρησιμοποιείται για τον έλεγχο ανομοιομορφίας της δομής του υλικού λόγω αποχωρισμών.

Αν, πάλι, επαλειφθεί η επιφάνεια τομής με κατάλληλο καυστικό υγρό, τότε γίνεται ορατός ο προσανατολισμός των κρυσταλλιτών και η διεύθυνση των “**ινών**” (**σχήμα 3**). Αυτό χρησιμοποιείται για τον έλεγχο διαμορφωμένων τεμαχίων.

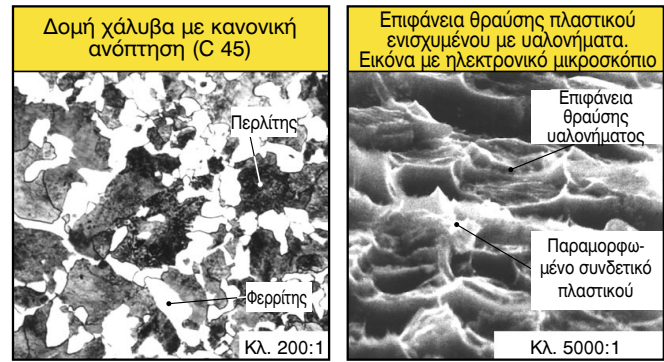
#### Εικόνες της κρυσταλλικής δομής με μικροσκόπιο

Αν παρατηρήσει κανείς μια στιλβωμένη και παρασκευασμένη με καυστικό υγρό επιφάνεια, τότε έχει μια εικόνα της δομής (**σχήμα 4**). Τέτοια δοκίμια χρησιμοποιούνται για τον έλεγχο της δομής και της ορθής θερμικής κατεργασίας αντικειμένων.

Με το ηλεκτρονικό μικροσκόπιο επιτυγχάνονται ακόμη και σε ανώμαλες επιφάνειες, ευκρινέστατες εικόνες σε μεγέθυνση έως 10000 φορές (**σχήμα 4**). Με αυτόν τον τρόπο ελέγχεται π.χ. η εξέλιξη μιας θραύσεως.



Σχήμα 3: Εικόνες κρυσταλλικής δομής χωρίς μεγέθυνση



Σχήμα 4: Εικόνες κρυσταλλικής δομής με μικροσκόπιο

#### Ερωτήσεις επανάληψης

1. Πώς φαίνεται μια επιφάνεια θραύσεως από κόπωση του υλικού;
2. Ποιο σκοπό έχει ο έλεγχος εξαρτήματος με δυνάμεις λειτουργίας;
3. Πώς εκτελείται ο έλεγχος με υπερήχους;
4. Τι δείχνει μια διεύθυνση “ινών” ή ένα λείασμα;

## 7.8 Διάβρωση και προστασία από διάβρωση

Με τον όρο **διάβρωση** εννοείται η προσβολή και η καταστροφή μεταλλικών υλικών, λόγω χημικών ή ηλεκτροχημικών αντιδράσεων με στοιχεία του περιβάλλοντος.

**Υλικά διαβρώσεως** (δραστικά υλικά) είναι τα υλικά, τα οποία περιβάλλουν το αντικείμενο, επιδρούν στο υλικό του και προκαλούν τη διάβρωση. Π.χ. ο αέρας σε ένα χώρο, ο ελεύθερος αέρας με ή χωρίς βιομηχανική ρύπανση, ο αέρας της θάλασσας, το νερό, το έδαφος ή τα χημικά.

Οι ζημιές που προκαλούνται από τη διάβρωση σε αυτοκίνητα και μηχανές είναι πολύ μεγάλες (**σχήμα 1**). Ένα μέρος αυτών των ζημιών μπορεί να αποφευχθεί με εφαρμογή κατάλληλων μεθόδων προστασίας.



Σχήμα 1: Άχρηστο αντικείμενο λόγω διάβρωσεως

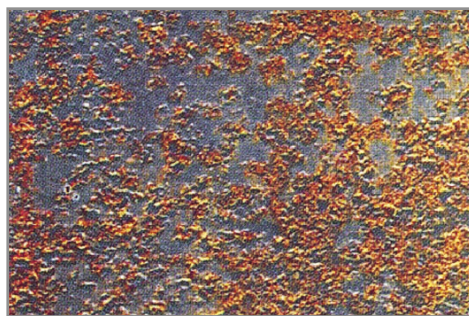
### 7.8.1 Αιτίες της διαβρώσεως

Η διάβρωση εξελίσσεται, ανάλογα με τα δεδομένα, κατά διαφορετικούς τρόπους δράσεως. Υστερα, διακρίνει κανείς την ηλεκτροχημική ή τη χημική διάβρωση.

Οι συχνότερες ζημιές από τη διάβρωση των μηχανών προέρχονται από ηλεκτροχημική διάβρωση.

#### Ηλεκτροχημική διάβρωση

Στην ηλεκτροχημική διάβρωση, τα φαινόμενα της διαβρώσεως εξελίσσονται στην επιφάνεια του μετάλλου, μέσα σε μία στοιβάδα νερού, η οποία είναι αγωγός του ηλεκτρισμού, τον **ηλεκτρολύτη**. Ως ηλεκτρολύτης αρκεί ένα λεπτότατο στρώμα υγρασίας ή κατάλοιπα νερού σε μία σχισμή, ή ακόμη και ο ιδρώτας των χεριών.



Σχήμα 2: Σκουριά στην απροστάτευτη επιφάνεια χάλυβα

#### Ηλεκτροχημική διάβρωση από οξυγόνο σε υγρές χαλύβδινες επιφάνειες

Οι επιφάνειες των μεταλλικών εξαρτημάτων, είτε αυτά βρίσκονται σε υγρούς χώρους είτε ελεύθερα, έχω, σε υγρή ατμόσφαιρα, περιβάλλονται από μία υγρή στοιβάδα. Τα γυμνά αντικείμενα από καθαρούς χάλυβες ή χάλυβες με μικρές προσμείξεις, κάτω από αυτές τις συνθήκες, μετά από μερικές ημέρες παρουσιάζουν σημάδια σκουριάς (**σχήμα 2**). Οι μεταβολές, οι οποίες είναι η βάση γι' αυτήν τη διάβρωση, στηρίζονται στην επίδραση του οξυγόνου του αέρα, σε συνδυασμό με το νερό, επάνω στο σίδηρο.

Τα φαινόμενα μπορούν να εξηγηθούν αν παρατηρήσει κανείς μία περιοχή του υλικού κάτω από μία σταγόνα νερού (**σχήμα 3**):

Στη μέση της σταγόνας διαλύεται ο σίδηρος ως ιόν  $Fe^{2+}$ . Αυτή η περιοχή του υλικού λειτουργεί σαν μία **τοπική άνοδος**.

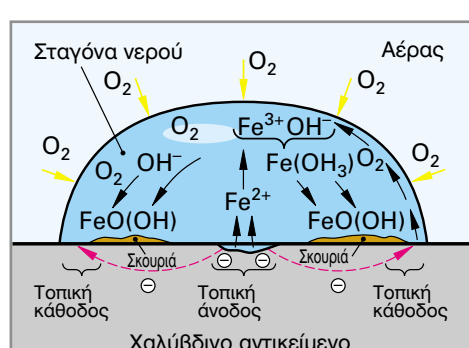
Στα όρια της σταγόνας αντιδρούν ιόντα  $OH^-$ , που προέρχονται από το οξυγόνο του αέρα με τα ιόντα του σιδήρου  $Fe^{2+}$  και σχηματίζουν αρχικά υδροξείδιο του σιδήρου  $Fe(OH)_3$  και από αυτό **σκουριά  $FeO(OH)$** .

Αυτή η σκουριά κατακάθεται κυκλικά στην περίμετρο της σταγόνας.

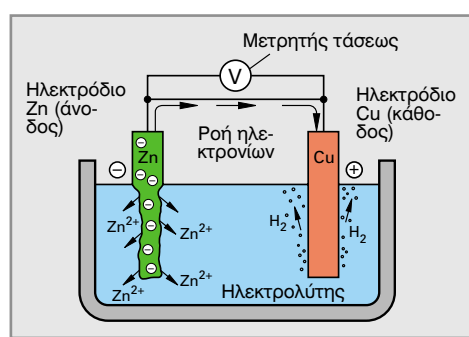
Τα στύγματα της σκουριάς, που ήδη έχει αρχίσει, μπορεί κανείς να τα παρατηρήσει στην επιφάνεια του χάλυβα (**σχήμα 2**). Στην περαιτέρω εξέλιξη της διάβρωσης, με αφετηρία αυτές τις θέσεις, καλύπτεται ολόκληρη η επιφάνεια από σκουριά.

#### Ηλεκτροχημική διάβρωση σε στοιχεία διαβρώσεως

Αυτή η διάβρωση έχει ως αιτία τα ίδια φαινόμενα, τα οποία εξελίσσονται σε ένα **ηλεκτρολυτικό στοιχείο**. Ένα ηλεκτρολυτικό στοιχείο απαρτίζεται από δύο ηλεκτρόδια από διαφορετικά μέταλλα, τα οποία εμβαπτίζονται σε ένα ηλεκτρικά αγώγιμο υγρό, τον ηλεκτρολύτη (**σχήμα 4**). Με αυτή τη διάταξη διαλύεται το λιγότερο "ευγενές" μέταλλο από τα δύο (ηλεκτρόδια). Αυτό διαβρώνεται.



Σχήμα 3: Εξέλιξη της ηλεκτροχημικής διάβρωσης με το οξυγόνο



Σχήμα 4: Ηλεκτρολυτικό στοιχείο